GET it digital

Modul 9: Halbleiterbauelemente



Stand: 19. Oktober 2025

Lizenz



Weiternutzung als OER ausdrücklich erlaubt: Dieses Werk und dessen Inhalte sind lizenziert unter CC BY 4.0. Ausgenommen von der Lizenz sind die verwendeten Logos sowie alle anders gekennzeichneten Elemente. Nennung gemäß TULLU-Regel bitte wie folgt: "GET it digital Modul 9: Halbleiterbauelemente" von D. Thiem, J. Brodmann, M. Kaminski, K. Siebert Lizenz: CC BY 4.0.

Der Lizenzvertrag ist hier abrufbar:

https://creativecommons.org/licenses/by/4.0/deed.de

Das Werk ist online verfügbar unter:

https://getitdigital.uni-wuppertal.de/module/modul-9-halbleiterbauelemente

Einführung

Lernziele: Halbleiter

Die Studierenden können

- ► Zusammenhänge zwischen Festkörpern und dem Bändermodell erklären.
- Vorgänge innerhalb von Halbleitern beschreiben.
- verschiedene Halbleitermaterialen und deren Eigenschaften bennen.

Einführung





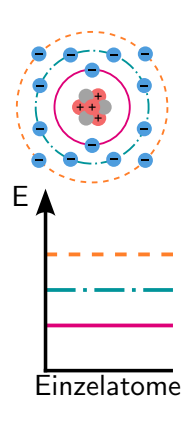




Einführung

- ► Halbleiterbauelemente sind zentral für die Funktion zahlreicher elektronischer Geräte wie Computer, Mobiltelefone und Solarzellen.
- ➤ Sie basieren auf Materialien, die weder gute Leiter noch gute Isolatoren sind. Ihre Funktionsweise kann mithilfe des Bändermodells erklärt werden.
- In diesem Kapitel werden die Grundlagen der Halbleitertechnik erläutert.

Das Bändermodell



- Das Bändermodell beschreibt die elektronischen Eigenschaften von Festkörpern und ordnet die Energiezustände von Elektronen in Energiebänder.
- Es hilft, elektrische, optische und magnetische Eigenschaften von Materialien zu verstehen und zu erklären.
- Das Modell ermöglicht die Erklärung von Leitung, Isolation, Halbleiterverhalten sowie Oberflächen- und Grenzflächenzuständen.
- In der Abbildung auf der linken Seite ist der Zusammenhang zwischen bohrschem Atommodell und Bändermodell illustriert.

Das Bändermodell

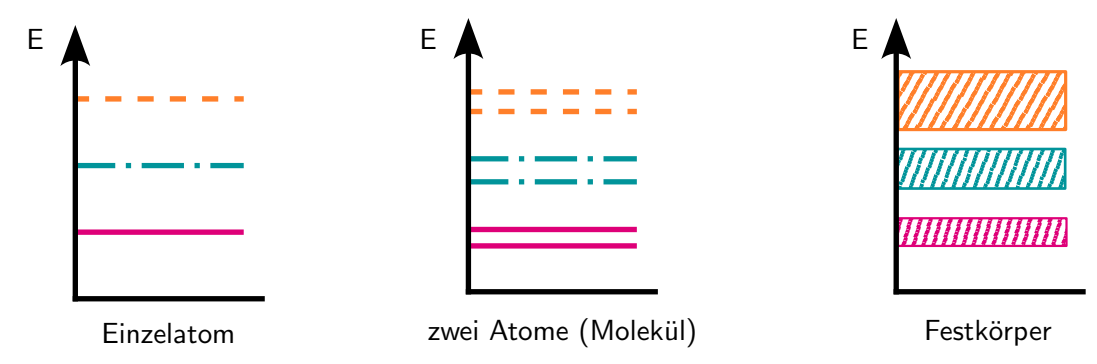


Abbildung: Übergang von Energieniveaus zu Bändern Zusammenhang zwischen den möglichen Energiezustände in Abhängigkeit zur Anzahl der Atome. V.I.n.r. Energiezustände von Elektronen bei einem Einzelatom, 2 Atomen (Molekül) und einem Festkörper.

Einteilung von Materialien

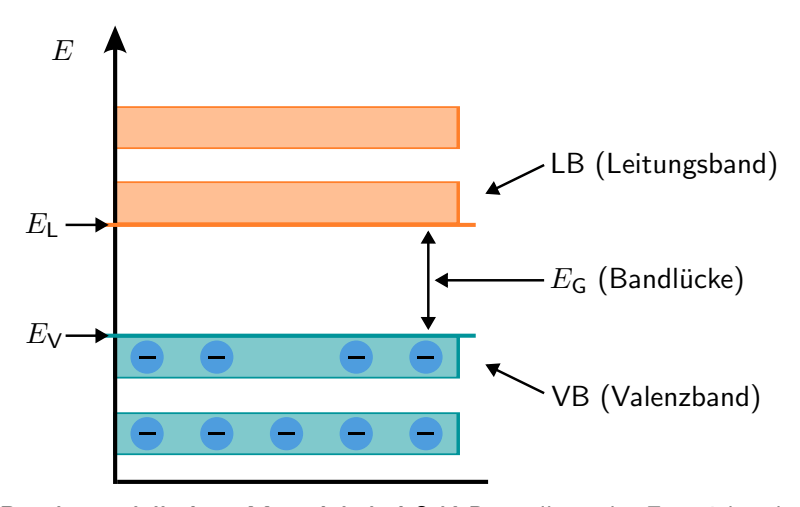


Abbildung: **Bändermodell eines Materials bei 0 K** Darstellung der Energiebänder mit zugehöriger Beschriftung sowie deren alternativen Bezeichnungen.

Einteilung von Materialien

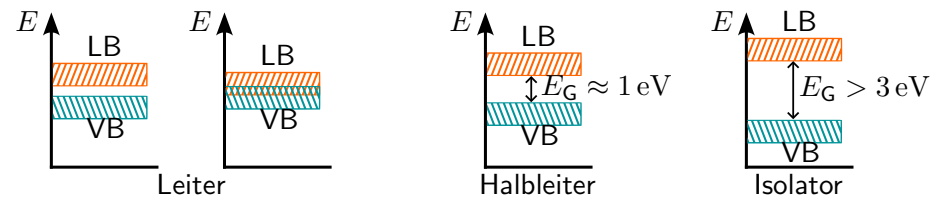


Abbildung: **Bändermodell verschiedener Halbleitermaterialien** V.l.n.r.: Leiter ohne und mit Überlappung, Halbleiter und Isolator

Einteilung von Materialien

Merke:

- Ladungsträger können nur definierte Energieniveaus im Festkörper besetzen.
- ▶ Bei $T = 0 \, \mathrm{K}$ ist das Valenzband das höchste besetzte Energieniveau, das darüberliegende Leistungsband beinhaltet keine freien Ladungsträger.
- Materialien können über die Bandlücke Kategorisiert werden.

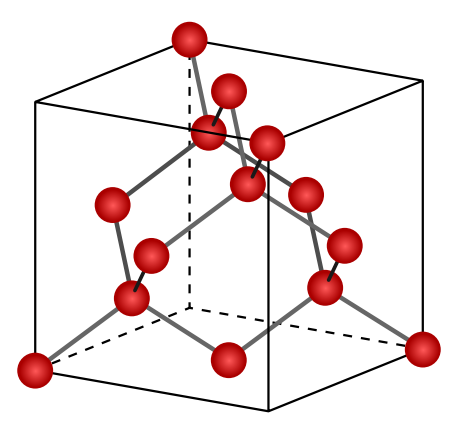
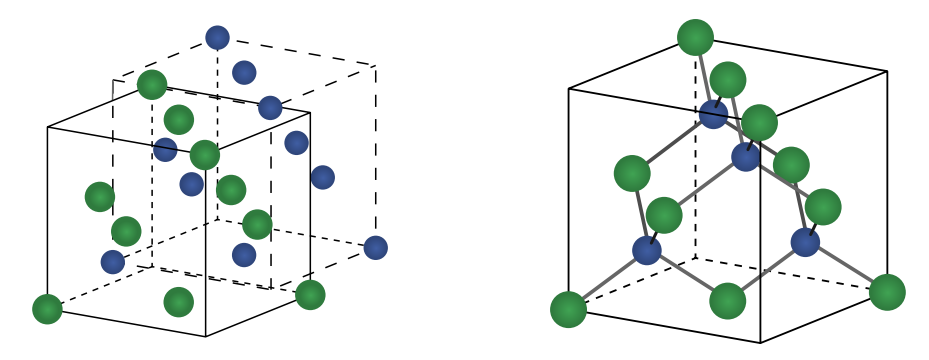


Abbildung: Diamantgitterstruktur von Silizium



 $Abbildung: {\bf Zinkblende\text{-}Gitterstruktur} \ {\bf von} \ {\bf GaAs}$

Merke:

- ▶ Silizium ist das am weitesten verbreitete Halbleitermaterial.
- Verbindungshalbleiter bestehen aus zwei Materialen die in bestimmter Kombination Halbleiterverhalten aufweisen.
- Silizium ist aus der IV. Hauptguppe des Periodensystem, Verbindungshalbleiter typischerweise aus der III. und V. Hauptguppe.

Material	Band-	Ladungs-	Elektronen-	Löcher-	Anwendungen
	lücke	trägerdichte	beweglichkeit		
	(eV)	(cm^{-3})	(cm^2/Vs)	(cm^2/Vs)	
Si	1,1	$10^{10} - 10^{15}$	1500	450	Mikrochips,
					Solarzellen,
					Sensoren
Ge	0,7	$10^{13} - 20^{19}$	3900	1900	Transistoren,
					Infarot-
					Detektoren
GaAs	1,43	$10^6 - 10^8$	8500	400	Hochfrequenz-
					schaltungen,
					LEDs, Laser-
					dioden

Tabelle: Eigenschaften verschiedener Halbleitermaterialien

Material	Band- lücke (eV)	Ladungs- trägerdichte (cm ⁻³)	Elektronen- beweglichkeit (cm ² /Vs)	Löcher- beweglichkeit (cm ² /Vs)	Anwendungen
InP	1,35	$10^{16} - 10^{17}$	5000 - 7000	200 - 400	Optoelektronik, Solarzellen
GaN	3,4	$10^{13} - 10^{17}$	1000 - 2000	50- 200	Leistungs- elektronik, LED- Beleuchtung, Displays
SiC	3,0	$10^{12} - 10^{16}$	800 - 1200	200 - 400	Leistungs- eletronik, Hochtemperatur anwendung

Tabelle: Eigenschaften verschiedener Halbleitermaterialien

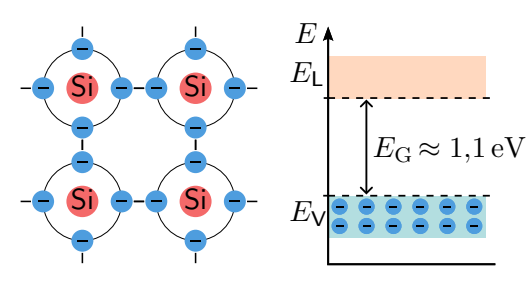


Abbildung: Gitterstruktur und Bändermodell von Si reines Silizium bei T = 0 K

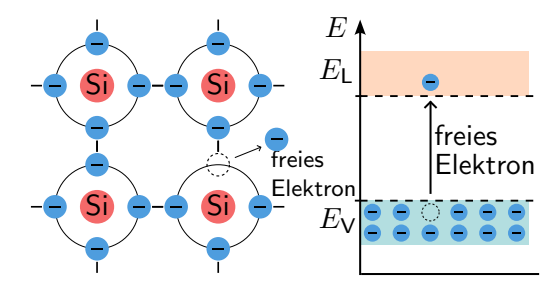


Abbildung: **Gitterstruktur und Bändermodell von Si** reines Silizium bei T > 0 K

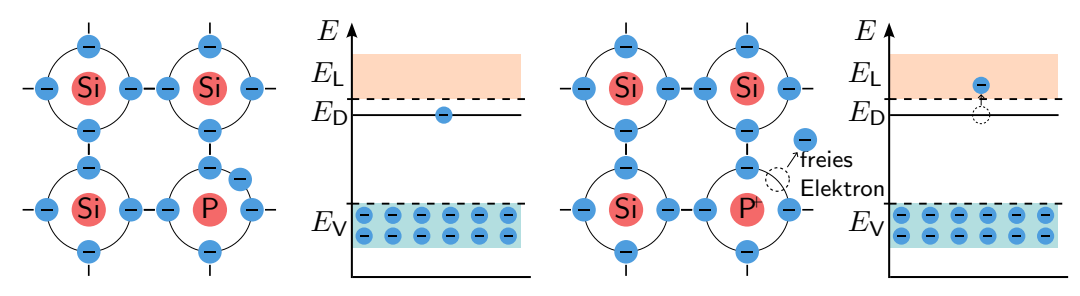


Abbildung: Gitterstruktur und Bändermodell von n-dotiertem Si n-dotierts Silizium bei $T=0\ K$.

Abbildung: **Gitterstruktur und Bändermodell von n-dotiertem Si**n-dotierts Silizium bei T > 0 K.

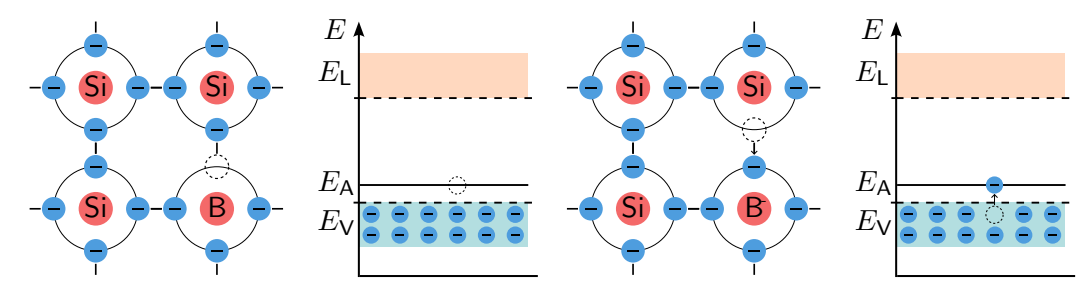


Abbildung: Gitterstruktur und Bändermodell von p-dotiertem Si p-dotierts Silizium bei $T=0\ K.$

Abbildung: Gitterstruktur und Bändermodell von p-dotiertem Si p-dotierts Silizium bei $\mathsf{T}>0~\mathsf{K}.$

Merke:

- Durch thermische Anregung können freie Elektronen entstehen, die zum Ladungsträgertransport beitragen.
- Dotierung ist das gezielte Einbringen von Fremdatomen mit oder weniger Valenzelektronen als das Ausgangsmaterial.
- Für n-Dotierung kann Phosphor und für p-Dotierung Bor genutzt werden.

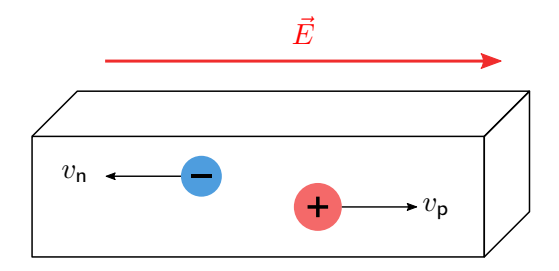


Abbildung: Driftstrom innerhalb eines Halbleiters

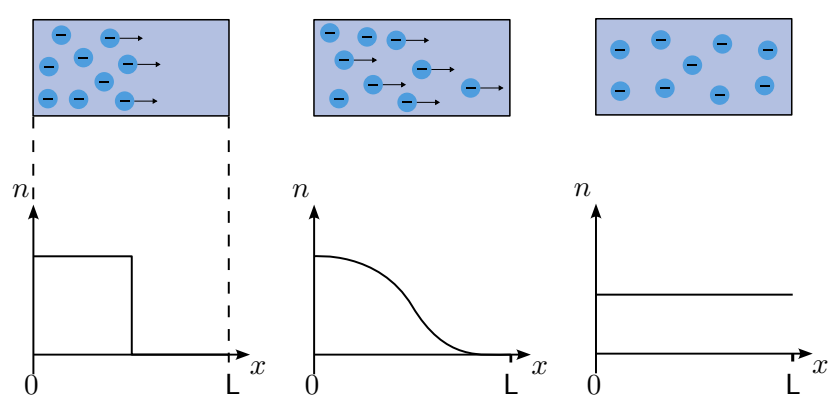


Abbildung: Diffusionsstrom innerhalb eines Halbleiters

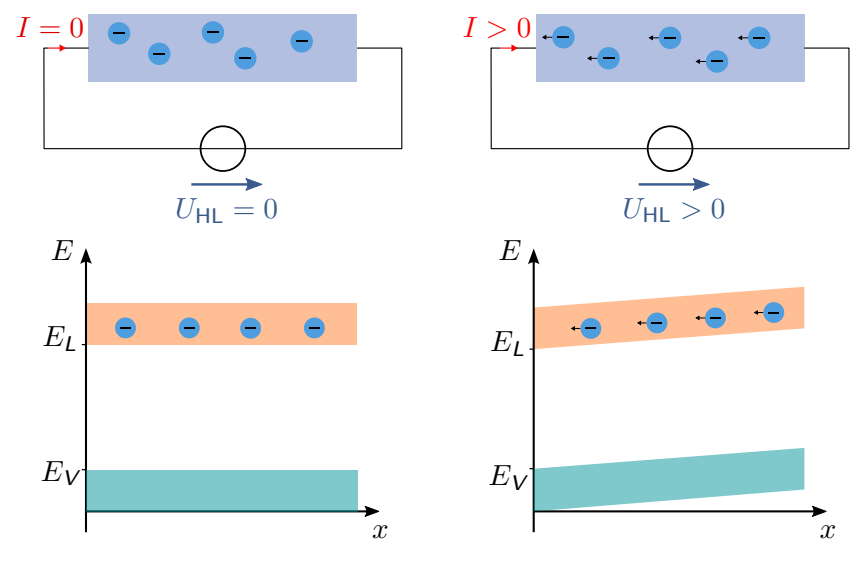
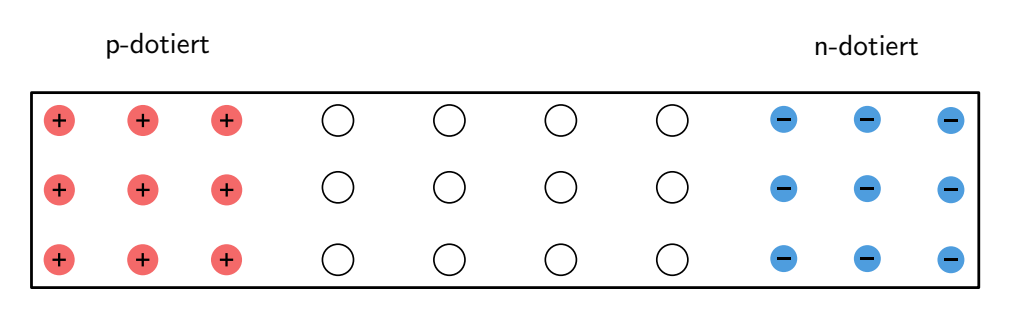


Abbildung: Einfluss von Spannungen auf Halbleiter

Merke:

- Driftstrom ist der Ladungsträgertransport auf Grund eines elektrischen Feldes.
- ▶ Diffusionsstrom ist die Bewegung von Ladungsträgern auf Grund eines Konzentrationsunterschiedes.
- ▶ Drift- und Diffusionsstrom ergeben zusammen den Gesamtstrom.
- Eine externe Spannung führt zu einer Verschiebung des Bändermodells.





freie Ladungsträger

Abbildung: Vorgänge innerhalb eines pn-Übergangs.

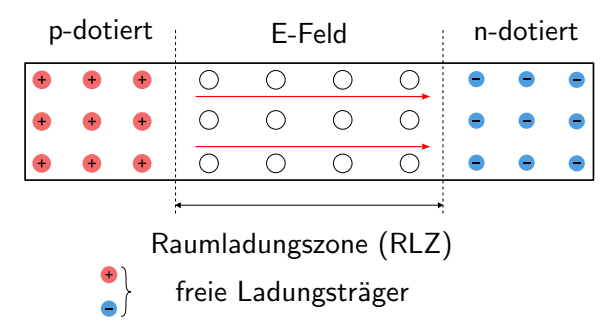


Abbildung: Vorgänge innerhalb eines pn-Übergangs.

- Durch die Bindung der Löcher und Elektronen an deren Atome begrenzt den Diffusionsstrom.
- ▶ Der Bereich in der Mitte nennt sich Raumladungszone (RLZ). Dort sind keine freien Ladungsträger, da die Elektronen und Löcher sich gegenseitig neutralisieren.
- Es entsteht ein elektrisches Feld zwischen den p- und n-dotierten Bereichen.

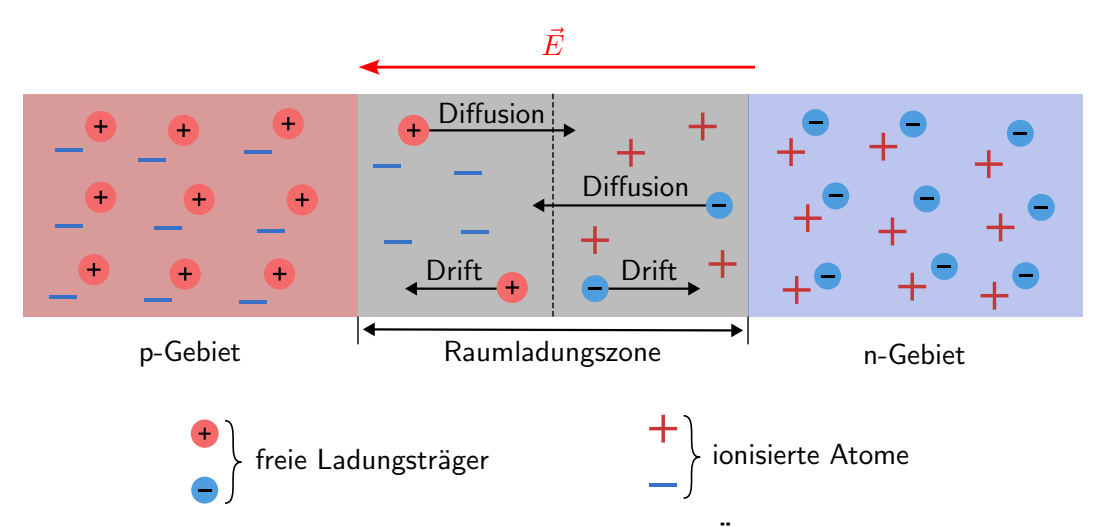


Abbildung: Vorgänge innerhalb des pn-Übergangs.

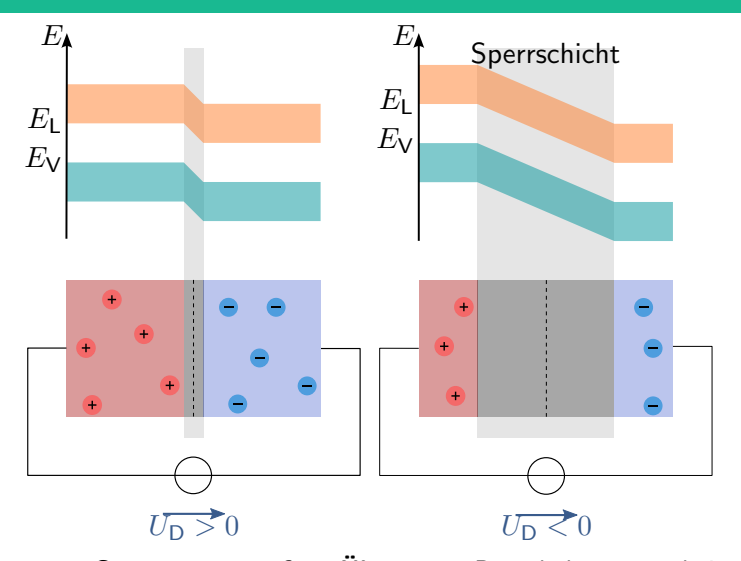


Abbildung: **Einfluss von Spannungen auf pn-Übergang.** Raumladungszone bei verschiedenen angelegten Spannungen. Links: Spannung in Durchlassrichtung. Rechts: Spannung entgegen der Durchlassrichtung, Sperrrichtung

Merke:

- ▶ Der pn-Übergang kombiniert eine p- und n-dotierte Halbleiterschicht.
- Im Übergangsbereich sind keine freien Ladungsträger, der Bereich wird Raumladungszone genannt.
- ▶ In Durchlassrichtung wird die RLZ verkleinert, in Sperrrichtung wird diese vergrößert.

Bauelemente

Lernziele: Halbleiterbauelemente

Die Studierenden können

- Bauteile für verschiedene Anwendungen auswählen.
- den Aufbau verschiedener Halbleiterbauelemente beschreiben.
- Arbeitspunkte bestimmen und fehlende Bauteilwerte berechnen.
- Anwendungen einzelner Bauelemente nennen.

Diode

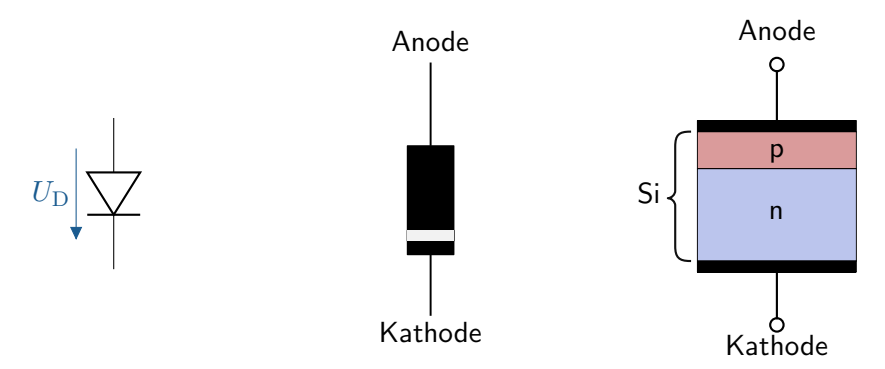
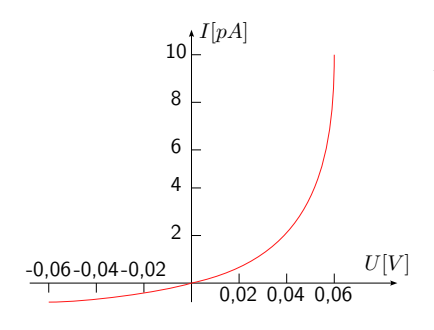


Abbildung: **Silizium Diode.** V.I.n.r. Schaltzeichen, Bauform und Querschnitt einer Silizium Diode.

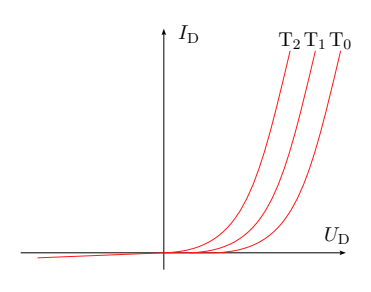
Diodenkennlinie



$$I_{\mathrm{D}} = I_{\mathrm{S}} \cdot (e^{\frac{U}{U_{\mathrm{T}}}} - 1) = I_{\mathrm{S}} e^{\frac{U_{\mathrm{D}}}{U_{\mathrm{T}}}} - I_{\mathrm{S}}$$

- ► *I*_D: Diodennenstrom
- $ightharpoonup I_{
 m S}$: Sperrstrom
- $ightharpoonup U_{
 m D}$: Flussspannung
- $ightharpoonup U_{
 m T}$: Temperaturspannung
- $lackbox{U}_{
 m T}=rac{k\cdot T}{e}$, bei Raumtemperatur $U_{
 m T}pprox 25\,{
 m mV}$

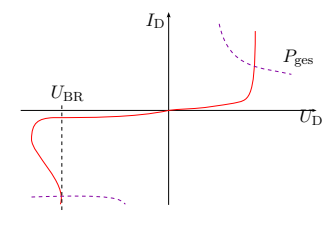
Temperaturverhalten von Dioden



$$I_{\rm D} = I_{\rm S} \cdot (e^{\frac{U}{U_{\rm T}}} - 1) = I_{\rm S} e^{\frac{U_{\rm D}}{U_{\rm T}}} - I_{\rm S} \text{ mit } U_{\rm T} = \frac{k \cdot T}{e}$$

- ▶ Boltzmannkonstante $k = 1.380649 \cdot 10^{-23} \, \mathrm{J/K}$
- Jede 5 °C Temperaturerhöhung verdoppelt den Diodenstrom
- ightharpoonup Die Flussspannung $U_{
 m D}$ sinkt um ca. 2 mV pro $^{\circ}{
 m C}$ bei konstantem Diodenstrom
- $ightharpoonup T_2 > T_1 > T_0$

Belastungsgrenzen einer Diode



- ► Eine Diode verträgt in Sperrrichtung mehr Spannung als in Flussrichtung.
- ▶ Bei hohen Spannungen in Sperrrichtung kann es zu einem Durchbruch kommen.
- Die Diode in Sperrrichtung wird in dem violett markierten Bereich irreversibel zerstört.

Diode – Anwendung/ Grundschaltungen

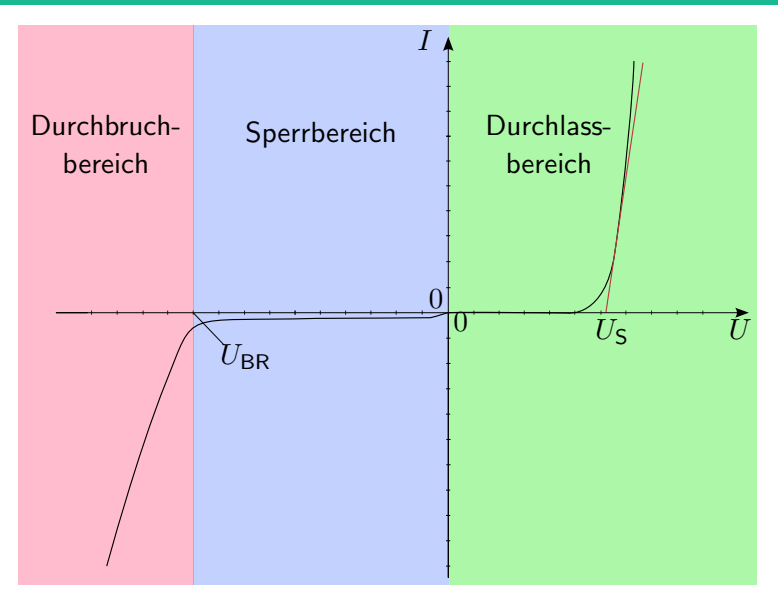


Abbildung: **Diodenkennlinie.** Relevante Bereiche v.l.n.r. Durchbruchbereich, Sperrbereich und Durchlassbereich

Diode – Elektrisches Verhalten

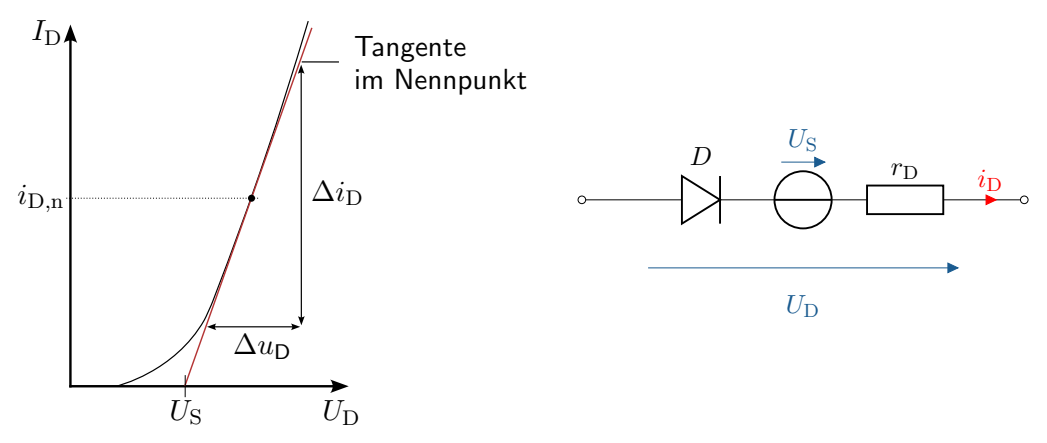


Abbildung: **Diodenkennlinie und Ersatzschaltbild.** Links: Diodenkennlinie mit Näherung für den differenziellen Widerstand. Rechts: Dioden-Ersatzschaltbild mit der idealen Diode, Spannungsquelle und differenzieller Widerstand.

Diode – Elektrisches Verhalten

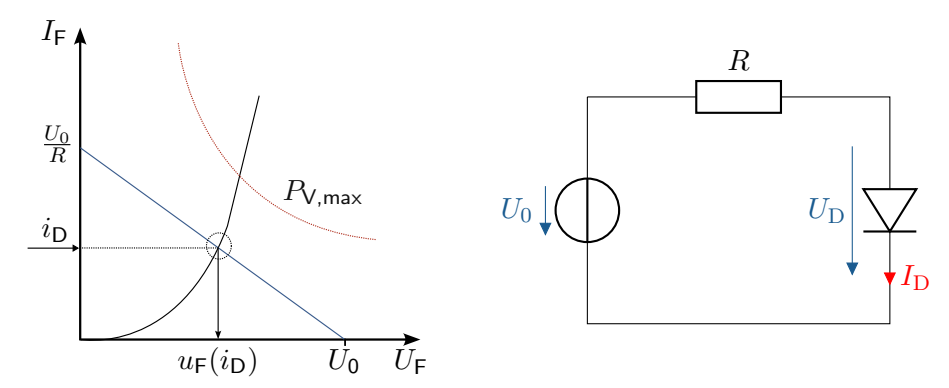


Abbildung: **Grafische Bestimmung des Arbeitspunktes.** Links: Diodenkennlinie (schwarz), Widerstandsgerade (blau) und Asymptote der maximalen Verlustleitung (rot) der Diode. Rechts: Schaltung der Diode mit Vorwiderstand.

Diode – Elektrisches Verhalten

Merke:

- Die Kennlinie der Diode ist stark nichtlinear.
- ▶ Das Verhalten der Kennlinie kann in drei Bereichen, den Durchbruch-, Sperr- und Durchlassbereich, beschrieben werden.
- ▶ Mittels idealer Diode, Spannungsquelle und Widerstand kann die reale Diode in verschiedenen Bereichen angenähert werden.

Diode - Aufbau

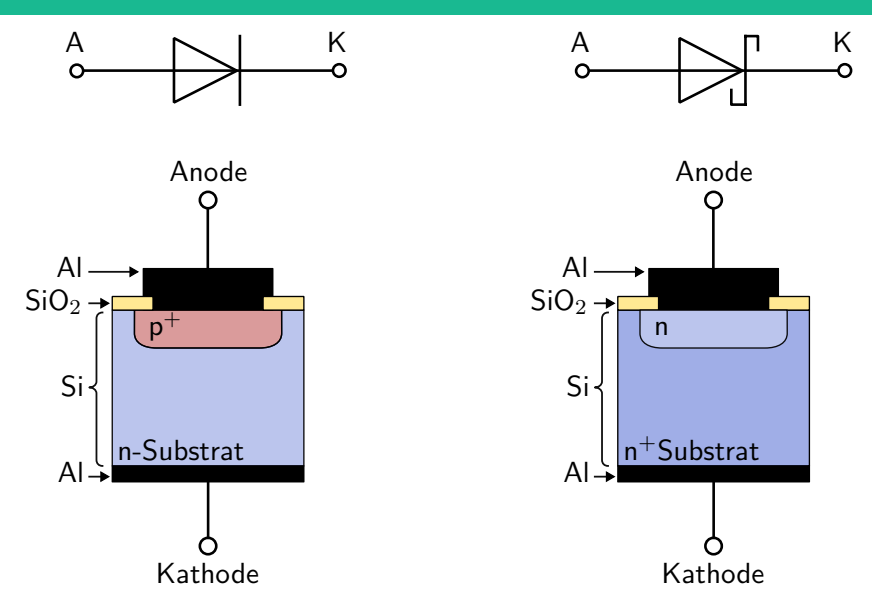
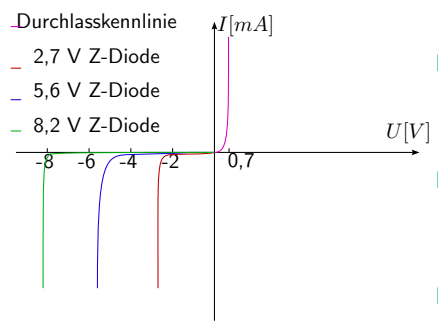


Abbildung: **Schichtaufbau von Dioden.** Aufbau und Vergleich einer klassischen Si-Diode (links) und Schottky-Diode(rechts).

Kennlinien einer Zener-Diode



- ightharpoonup Zener-Effekt bei einer Durchbruchspannung von $<5\,V$ (Elektronen tunneln in Sperrrichtung)
- $\begin{tabular}{ll} \begin{tabular}{ll} \be$
- $ightharpoonup U_{
 m BR}$ im Bereich von $1.8\,V$ bis $300\,V$ möglich.

Diode - Aufbau

Merke:

- Schottky-Dioden weisen keinen pn-Übergang auf, sondern einen Schottky-Kontakt.
- ▶ Bei geeigneter Materialkombination bilden sich zwischen Metall und Halbleiter eine RLZ aus.

Bezeichnung	Symbol	Kennlinie	Eigenschaften	Anwendung
Gleich-		_	hoher Durchlass-	große Sperrspan-
richterdiode		I_{\uparrow} ,	strom	nung,
				Gleichrichtung
		Ü		
Schaltdiode		_	kleiner Durch-	hoher Sperrwider-
		$I_{igwedge}$	bruchwiderstand	stand,
		J Ū		kleine Umschalt- zeiten

Tabelle: Übersicht typischer Dioden.

Bezeichnung	Symbol	Kennlinie	Eigenschaften	Anwendung
Schottky-		_	kleine Durchlass-	kleine Sperrspan-
diode		I \uparrow I	spannung	nung,
				HF-Gleichrichter,
				Freilaufdiode,
				Schaltnetzteile
Z-Diode		_	definierte Durch-	Stabilisierung von
		I_{igaphi} ,	bruchspannung	Spannungen,
				Begrenzung
	\searrow			

Tabelle: Übersicht typischer Dioden.

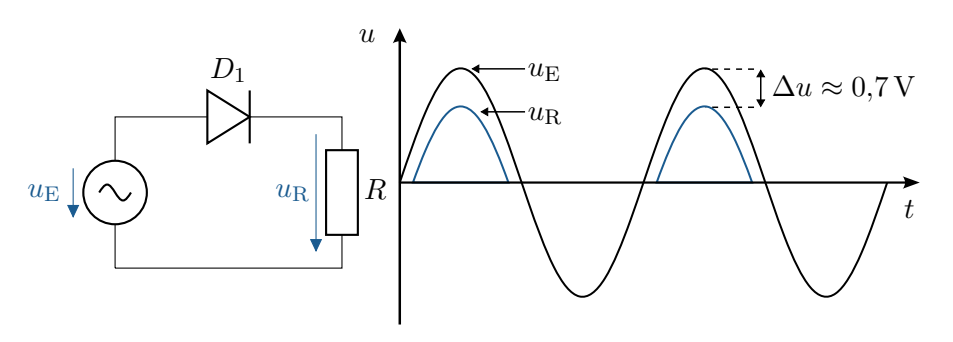
Bezeichnung	Symbol	Kennlinie	Eigenschafte	en	Anwendung
Tunneldiode		_	negativer	dif-	Entdämpfung von
		$\stackrel{I}{\uparrow}$	ferentieller		Schwingkreisen,
			Widerstand		HF-Oszillator
	\				
Diac			gesteuerter		Entdämpfung,
		I_{igath} ,	Durchbruch		Triggerdiode
		Ü			

Tabelle: Übersicht typischer Dioden.

Bezeichnung	Symbol	Kennlinie	Eigenschaften	Anwendung
Photodiode		Lichtleistung U	Strom ändert sich proportional zur Lichtleistung	Photoempfänger, Messtechnik, Solarzellen
LED, Laserdiode		\overrightarrow{U}	Durchlassstrom erzeugt optische Strahlung	Beleuchtung, Strahlungsquelle

Tabelle: Übersicht typischer Dioden.

Diode bei Wechselspannung



- ▶ In Sperrrichtung fällt die gesamte Spannung über die Diode ab.
- Positive Halbwelle der Wechselspannung wird durchgelassen. Die Flussspannung der Diode wird abgezogen.
- Negative Halbwelle der Wechselspannung wird blockiert.
- Die Diode wirkt als Gleichrichter.

Einweggleichrichter

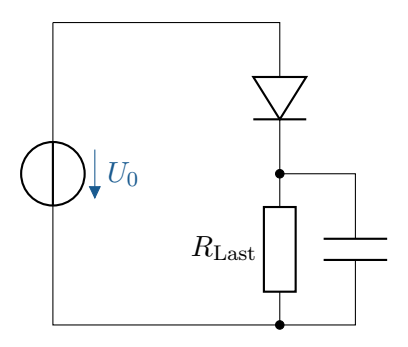


Abbildung: Schaltkreis eines Einweggleichrichters.

- ▶ Eine Gleichspannung kann nicht mit einer Diode allein erzeugt werden.
- ▶ Signal muss durch einen Kondensator geglättet werden.

Spannungsverlauf eines Einweggleichrichters

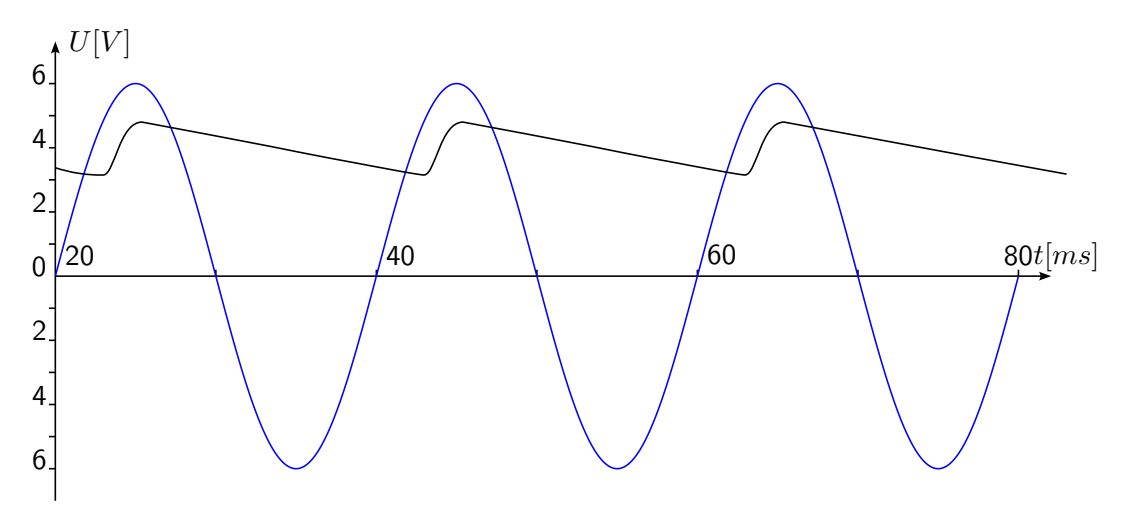
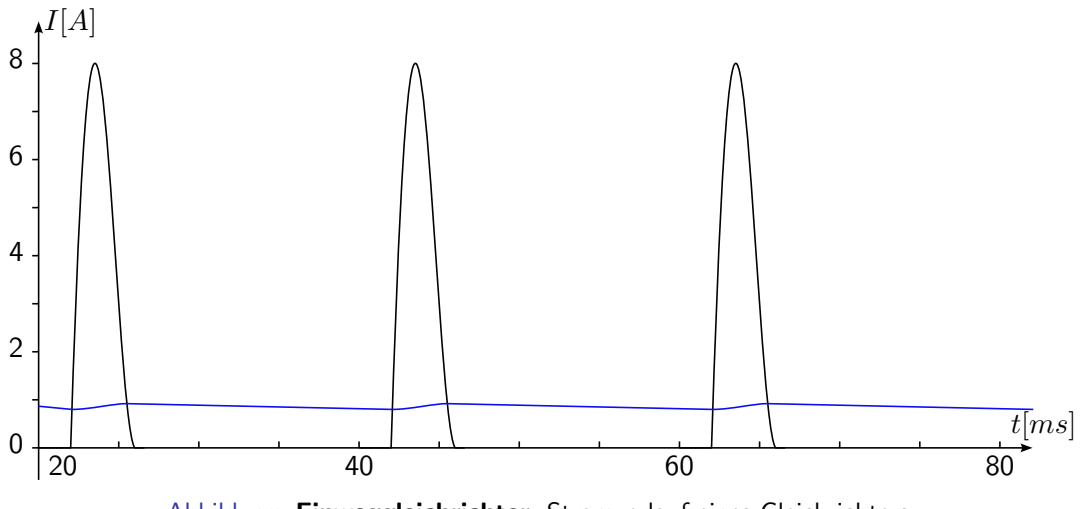


Abbildung: Einweggleichrichter. Spannungsverlauf eines Gleichrichters.

Stromverlauf eines Einweggleichrichters



 $Abbildung: \begin{picture}(2000)\put(0,0){\line(1,0){100}} \put(0,0){\line(1,0){100}} \put(0,0){\lin$

Diode – Anwendungen/ Grundschaltungen

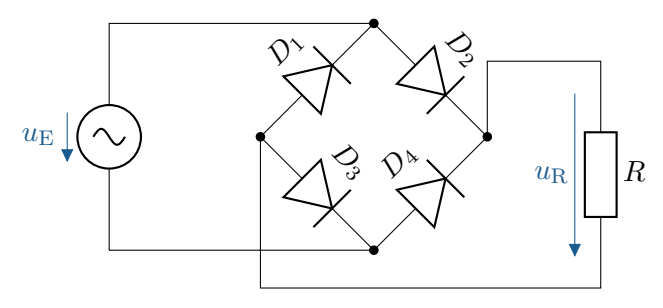


Abbildung: **Brückengleichrichter-Schaltung** Schaltkreis eines Brückengleichrichters mit angelegter Last R.

Signaleverläufe eines Brückengleichrichters

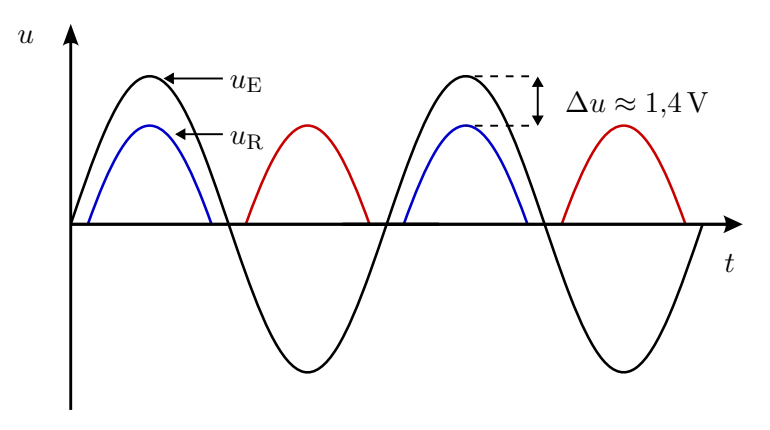
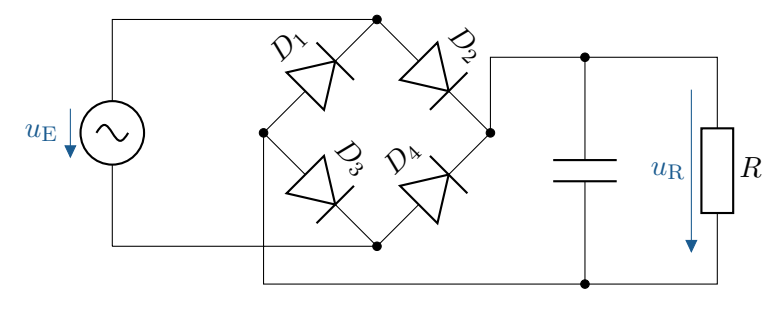


Abbildung: **Brückengleichrichter Signalverläufe.** Verlauf der Eingangsspannung und Lastspannung des Brückengleichrichters

Diode - Anwendungen/ Grundschaltungen



 $Abbildung: \ \textbf{Br\"{u}ckengleichrichterschaltung} \ \ \textbf{mit} \ \ \textbf{Gl\"{a}ttungskondensator}$

Diode – Anwendungen/ Grundschaltungen

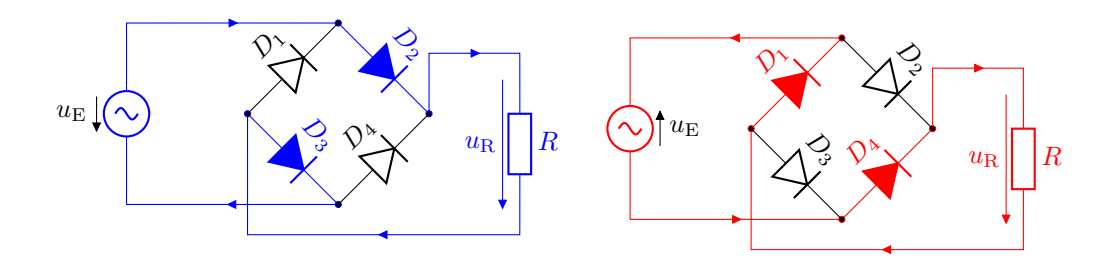


Abbildung: **Strompfade im Brückengleichrichter.** Links: Strompfad bei der positiven Halbwelle der Eingangsspannung. Rechts: Strompfad bei der negativen Halbwelle der Eingangsspannung.

Delon-Schaltung

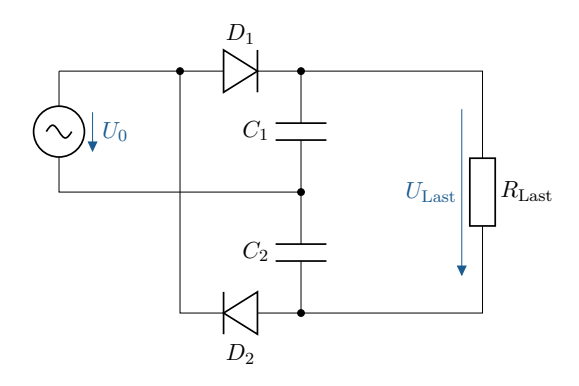


Abbildung: Delon-Schaltung

- Beinhaltet eine Gleichrichterschaltung aus zwei Dioden und zwei Kondensatoren.
- Positive Halbwelle lädt den Kondensator C_1 über die Diode D_1 auf.
- Negative Halbwelle lädt den Kondensator C_2 über die Diode D_2 auf.
- Dadurch, dass der Ausgang parallel zu den in Reihe geschalteten Kondensatoren liegt, wird die Spannung verdoppelt.

Diode – Anwendungen/ Grundschaltungen

Merke:

- ▶ Dioden werden in Gleichrichter eingesetzt um Wechselspannungen in Gleichspannungen umzuformen.
- ▶ In Einweggleichrichter wird nur eine Polarität der Halbwellen durchgelassen.
- Brückengleichter nutzen beide Polaritäten der Eingangsspannung.

Bipolartransistor

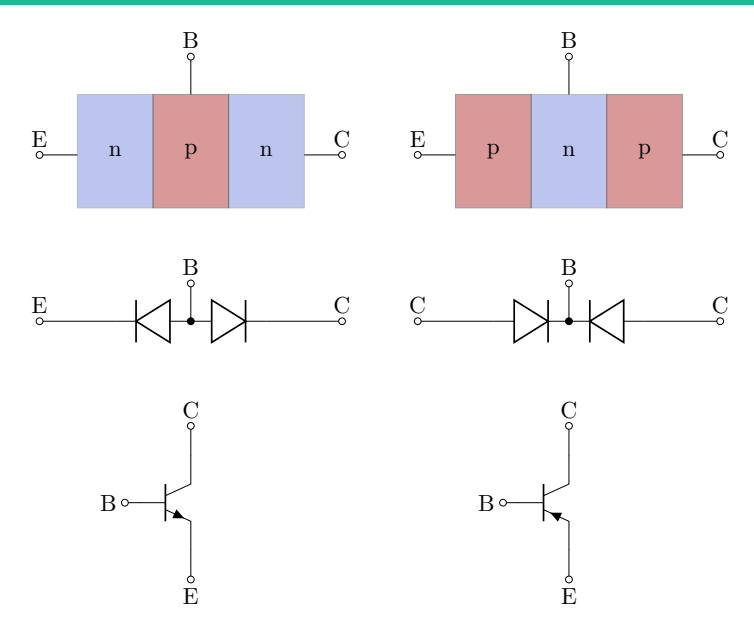


Abbildung: Übersicht Bipolartransistoren. Vereinfachte Darstellung des Querschnittes, Logik

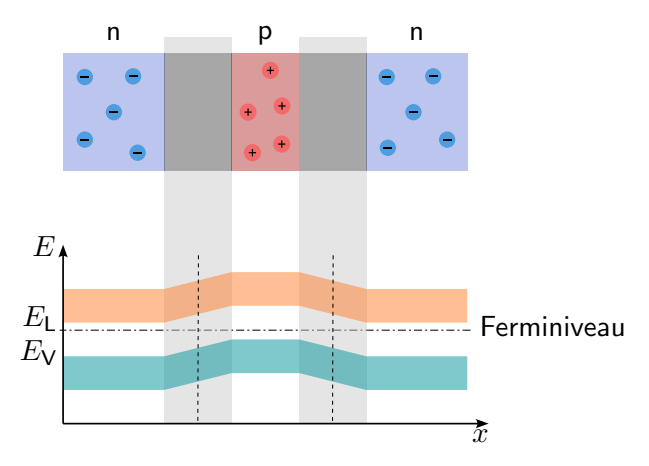


Abbildung: **Verhalten unbeschalteter Bipolartransistor.** Querschnitt eines unbeschalteten npn-Transistors und zugehörige Bändermodell

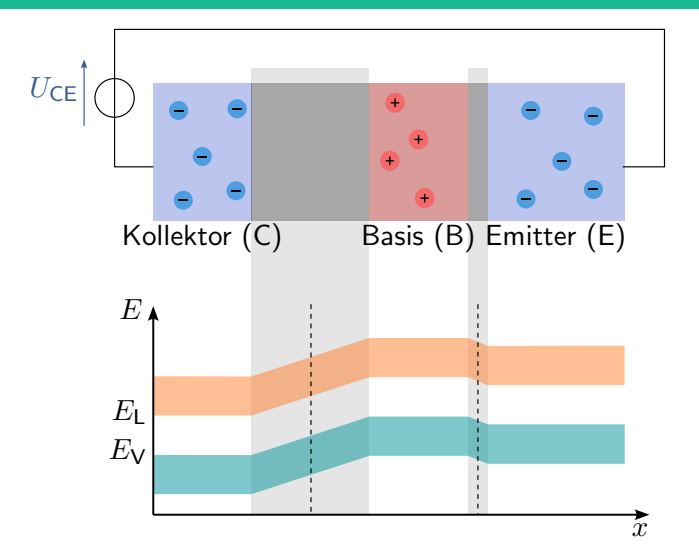


Abbildung: **Bipolartransistor mit Kollektor-Emitter-Spannung.** Querschnitt eines npn-Transistors und zugehörige Bändermodell bei einer positiven Spannung zwischen Kollektor und Emitter.

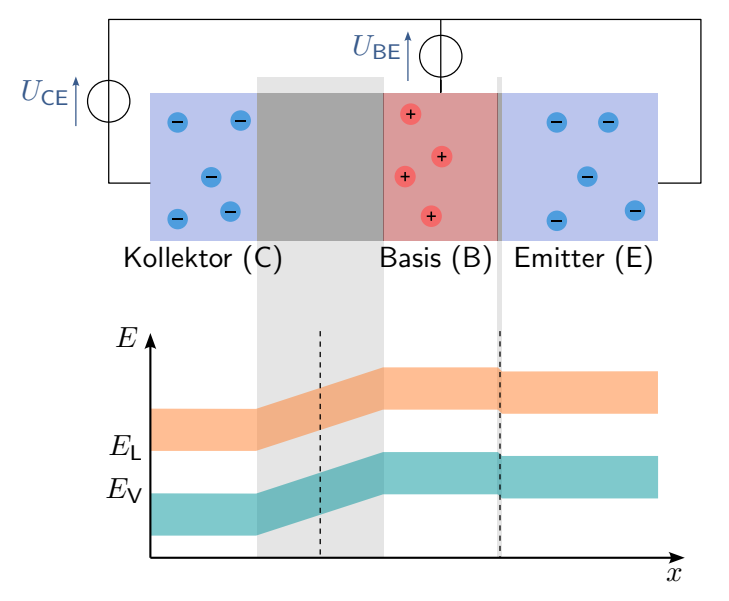


Abbildung: **Beschalteter Bipolartransistor** Querschnitt eines npn-Transistors und zugehörige Bändermodell bei einer positiven Spannung zwischen Kollektor und Emitter sowie Basis und

Merke:

- Bipolartransistoren weisen zwei pn-Übergänge auf.
- Es gibt drei Anschlüsse, den Kollektor (C), die Basis (B) und den Emitter (E).

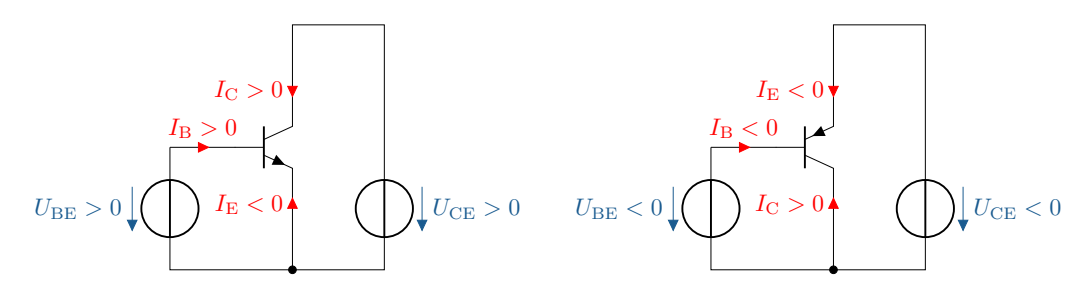


Abbildung: **Ströme und Spannungen beim Bipolartransistor.** Relevante Ströme und Spannungen bei npn- und pnp-Transistor.

Transistorschaltungen – AC-Verstärker

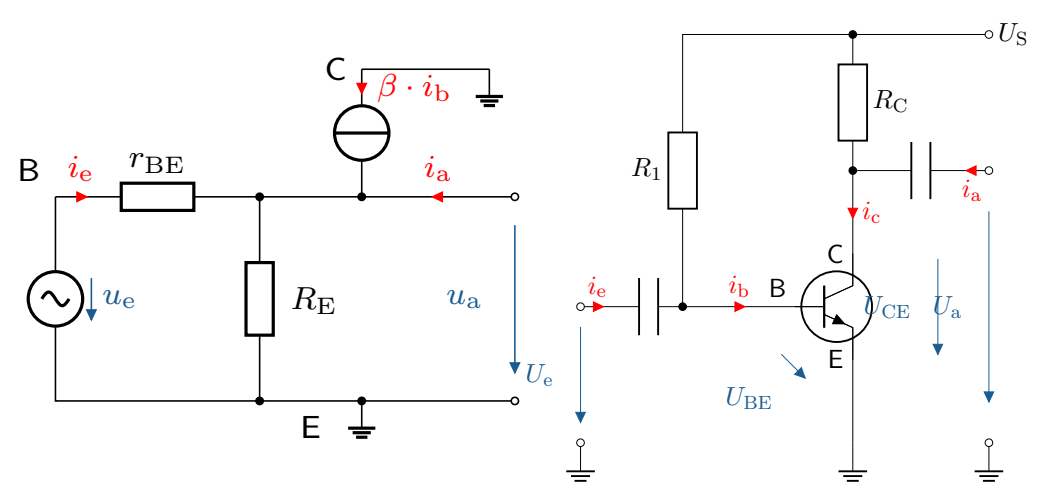
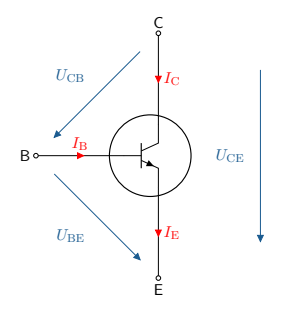


Abbildung: Grundschaltung und Ersatzschaltbild einer Kollektorschaltung.

- lacktriangle Eingangswiderstand $r_{
 m E}=rac{u_{
 m e}}{i_{
 m e}}=rac{R_1r_{
 m BE}}{R_1+r_{
 m BE}}=R_1\parallel r_{
 m BE}$
- Ausgangswiderstand $r_{\rm A} = \frac{u_{\rm e}}{i_{\rm e}} = \frac{R_{\rm C} r_{\rm CE}}{R_{\rm C} + r_{\rm CE}} = R_{\rm C} \parallel r_{\rm CE}$

Transistorspannungen und -ströme



- Werte im durchgeschalteten Zustand:
- $ightharpoonup U_{
 m BE} pprox 0.6 \,
 m V$ (Basis-Emitter-Spannung)
- $ightharpoonup U_{\rm CB} pprox 2...300\,{
 m V}$ (Kollektor-Basis-Spannung)
- $I_{\rm B} = 1\%; I_{\rm C} = 99\%; I_{\rm E} = 100\%$
- Im Transistor gelten Knoten- und Maschenregel:
- $V_{\rm CE} = U_{\rm CB} + U_{\rm BE} = 0$
- $I_{\rm B} + I_{\rm C} I_{\rm E} = 0$
- Transistor verstärkt Strom und Spannung:
- $B = \frac{I_{\rm C}}{I_{\rm B}}$
- $D = \frac{\Delta U_{\rm BE}}{\Delta U_{\rm CE}}$

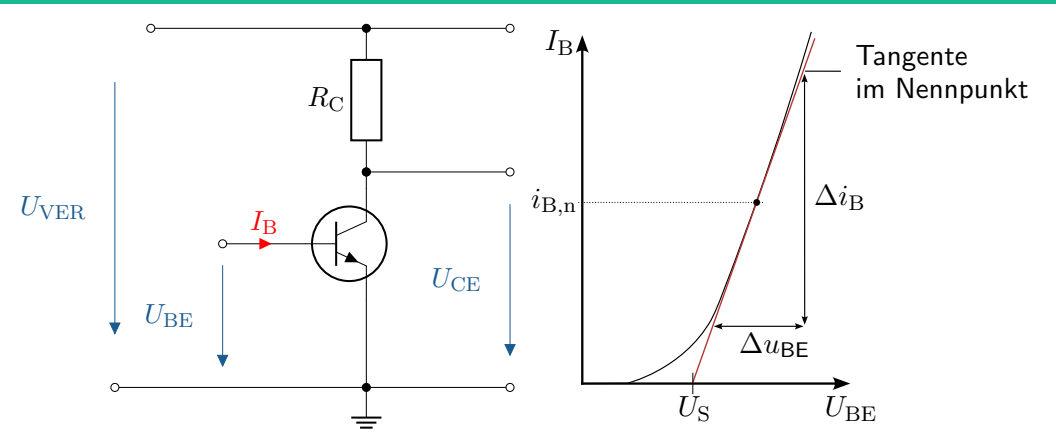
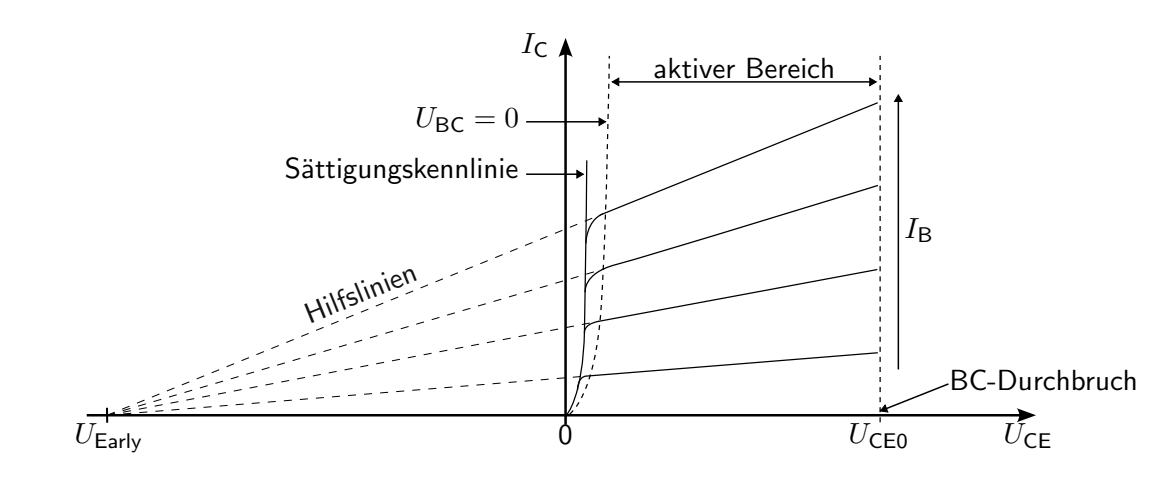


Abbildung: Eingangskennlinie eines npn Transistors.

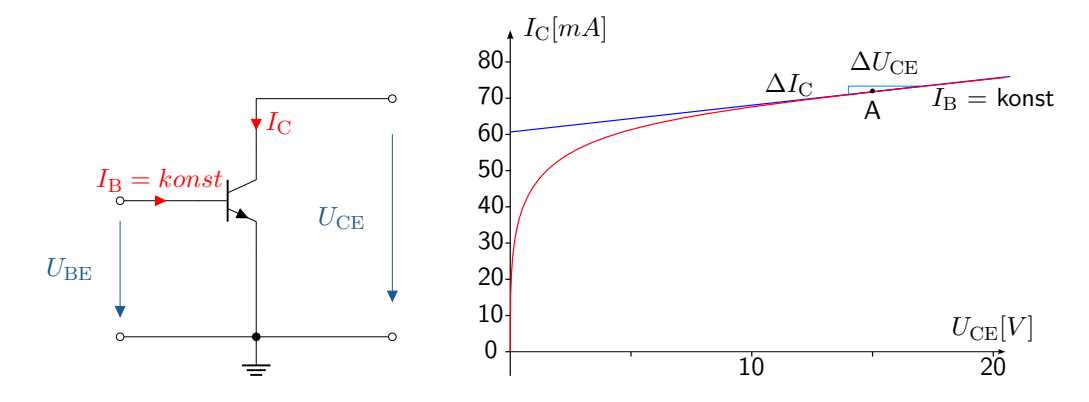
- lacktriangle Zusammenhang zwischen Basis-Emitter-Spannung U_{BE} und Basisstrom I_{B} bei konstanter Ausgangsspannung U_{CE} .
- lacktriangle Am Arbeitspunkt ist der differentielle Widerstand als $r_{
 m BE}=rac{\Delta U_{
 m BE}}{\Delta I_{
 m B}}$ definiert.
- Vergleiche Diodenkennlinie

Merke:

- ▶ Die Eingangskennlinie $I_{\rm B} = f(U_{\rm BE})$ gleicht der einer Diode.
- lacktriangle Eine Änderung von U_{CE} führt zu einer Verschiebung der Kennlinie.



Ausgangskennlinie

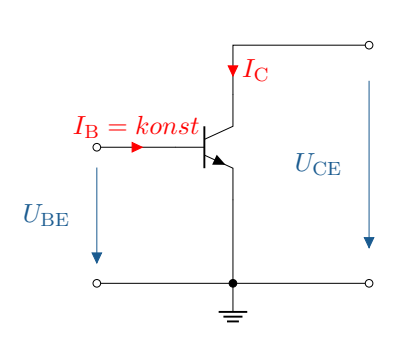


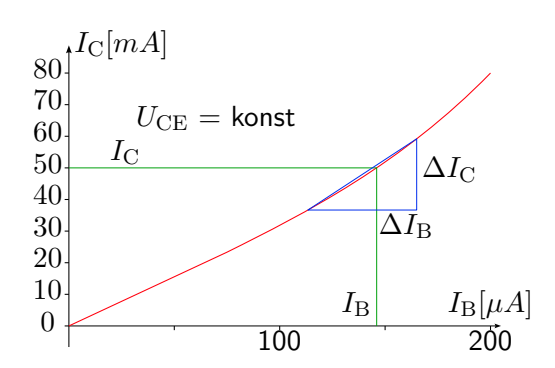
- ightharpoonup Zusammenhang zwischen Kollektor-Emitter-Spannung $U_{\rm CE}$ und Kollektorstrom $I_{\rm C}$ bei konstantem Basisstrom $I_{\rm B}$.
- ▶ Differentieller Widerstand $r_{\text{CE}} = \frac{\Delta U_{\text{CE}}}{\Delta I_{\text{C}}}$.

Merke:

- ▶ Die Ausgangskennlinie stellt $I_{\rm C} = f(U_{\rm CE})$ dar.
- \blacktriangleright Im aktiven Bereich flacht der Verlauf ab, der Einfluss von $U_{\rm CE}$ auf $I_{\rm C}$ sinkt.
- ► *I*_B beeinflusst die Höhe der Kennlinie.

Stromsteuerungskennlinie

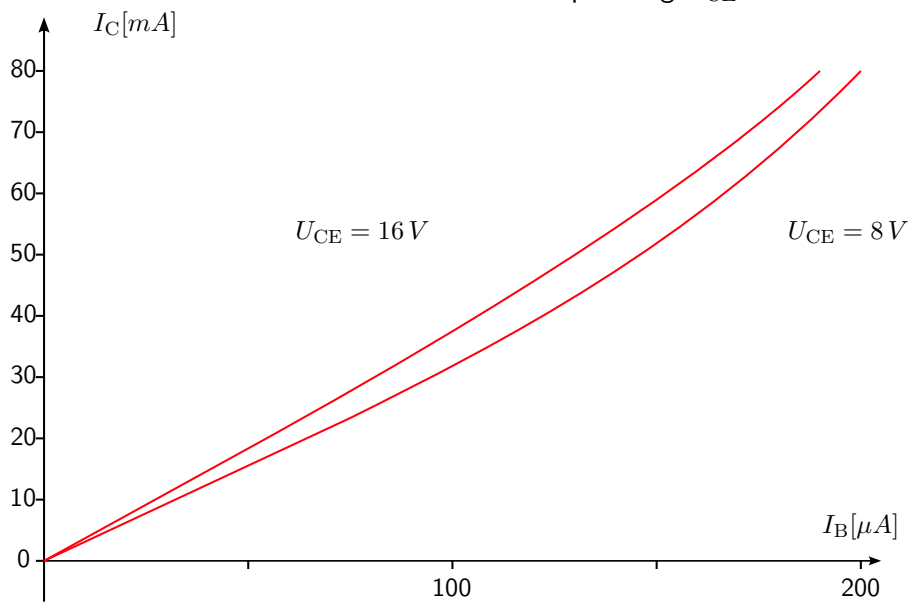




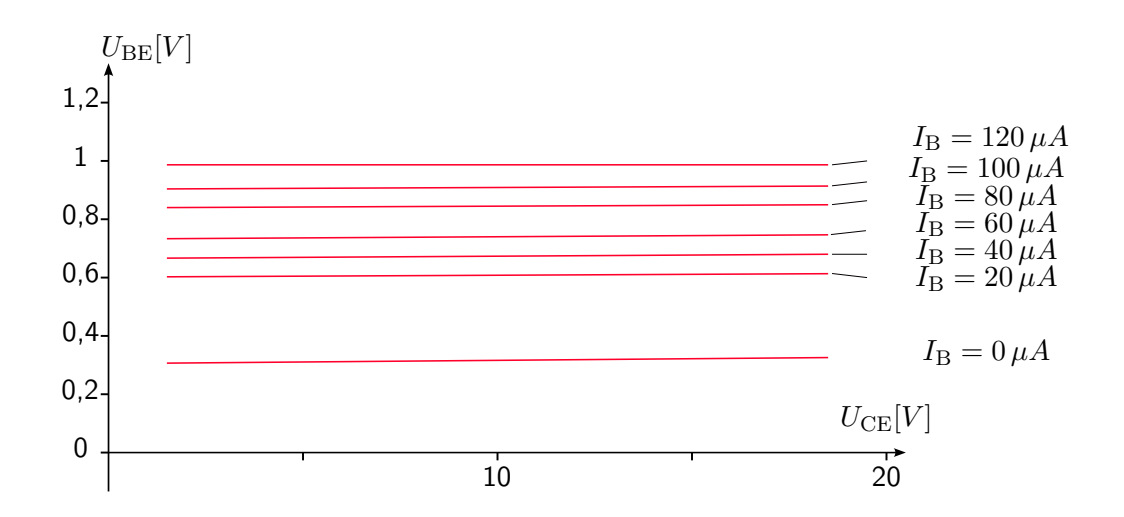
- lacktriangle Zusammenhang zwischen Basisstrom $I_{
 m B}$ und Kollektorstrom $I_{
 m C}$ bei konstanter Kollektor-Emitter-Spannung $U_{
 m CE}$.
- ► Keine Gerade: Zuerst linearer Anstieg, dann nimmt die Steigung mit wachsendem Basisstrom zu.

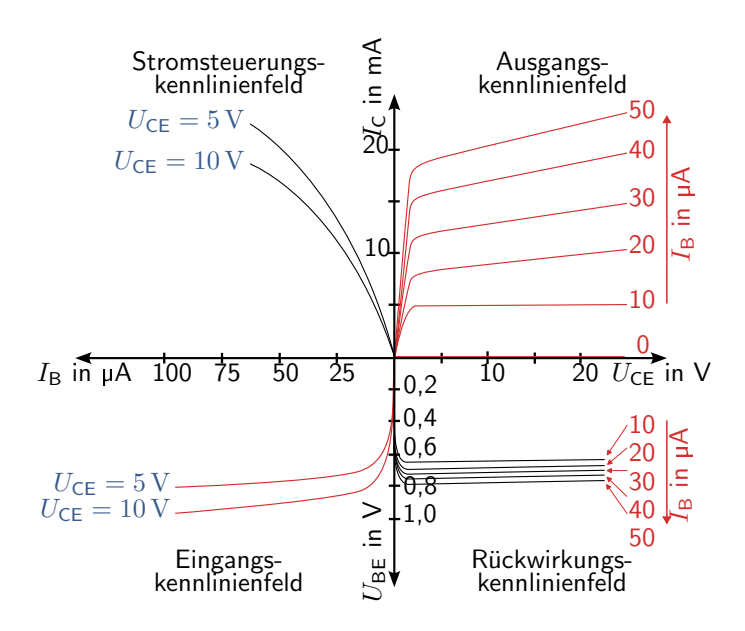
Stromsteuerungskennlinie

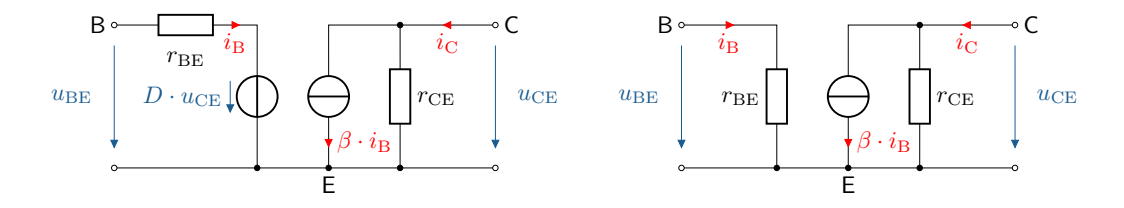
lacktriangle Kurvenschar bei variabler Kollektor-Emitter-Spannung U_{CE} .



Rückwirkungskennlinie







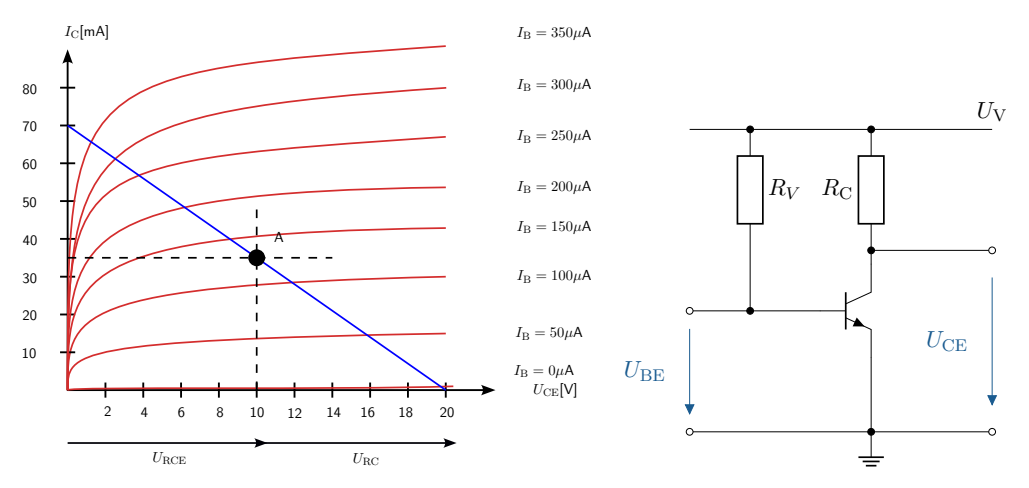
Bipolartransistor – Elektrisches Verhalten

Merke:

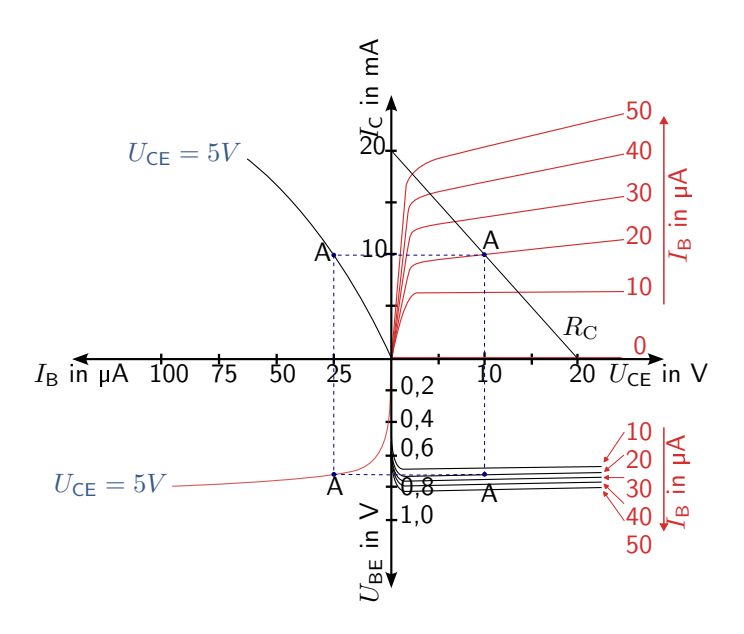
- ▶ Das Vierquadrantenkennlinienfeld zeigt die Strom-Spannungs-Kennlinien am Einund Ausgang sowie die Kopplungen dazwischen.
- ▶ Mittels der differentiellen Größen kann das Ersatzschaltbild aufgestellt werden.

Bipolartransistor - Beispiel 2.1

Die Versorgungsspannung $U_{\rm V}$ beträgt $20\,{\rm V}$. Über den Widerstand R_C , der einen ohmschen Verbraucher repräsentiert, soll die halbe Versorgungsspannung anliegen und ein Strom von $10\,{\rm mA}$ fließen.



Bipolartransistor – Beispiel 2.2



Bipolartransistor - Beispiel 2.2

In den jeweiligen Quadranten ergeben sich die folgenden Arbeitspunkte und Kenngrößen.

Ausgang (bei: $I_{\rm B}=20\,\mu{\rm A}$):

$$U_{\rm CE} = 10 \, {\rm V}$$
 $I_{\rm C} = 10 \, {\rm mA}$
 $R_{\rm C} = \frac{U_{\rm RC}}{I_{\rm RC}} = \frac{U_{\rm V}/2}{I_{\rm C}} = \frac{10 \, {\rm V}}{10 \, {\rm mA}} = 1000 \, \Omega$

Stromsteuerung:

$$\begin{split} I_{\rm C} &= 10\,{\rm mA} \\ I_{\rm B} &= 25\,\mu{\rm A} \\ B &= \frac{I_{\rm C}}{I_{\rm B}} = \frac{10\,{\rm mA}}{25\,\mu{\rm A}} = 400 \end{split}$$

Bipolartransistor - Beispiel 2.2

In den jeweiligen Quadranten ergeben sich die folgenden Arbeitspunkte und Kenngrößen.

Eingang:

$$I_{\rm B} = 25 \,\mu{\rm A}$$

$$U_{\rm BE} = 0.72 \,{\rm V}$$

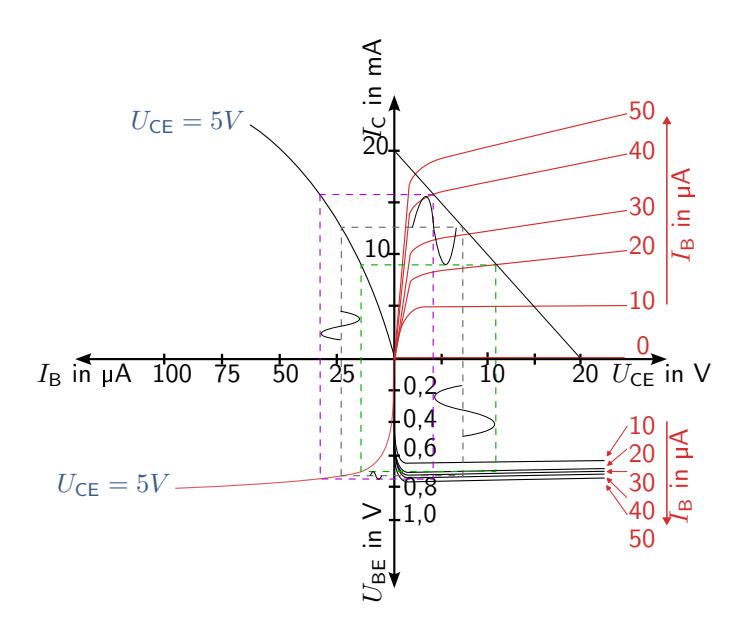
$$R_{\rm V} = \frac{U_{\rm RV}}{I_{\rm RV}} = \frac{U_{\rm V} - U_{\rm BE}}{I_{\rm B}} = \frac{20 \,{\rm V} - 0.72 \,{\rm V}}{25 \,\mu{\rm A}} = 771.2 \,{\rm k}\Omega$$

Rückwirkung:

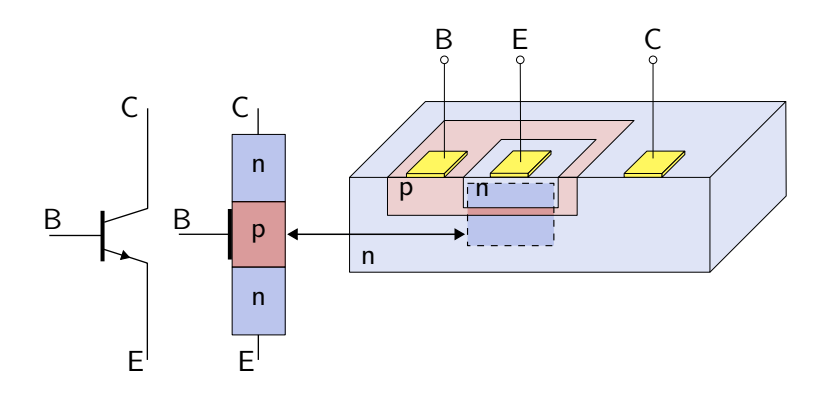
$$U_{\text{BE}} = 0.72 \,\text{V}$$
 $U_{\text{CE}} = 10 \,\text{V}$

$$D = \frac{U_{\text{BE}}}{U_{\text{CE}}} = \frac{0.72 \,\text{V}}{10 \,\text{V}} = 0.072$$

Bipolartransistor – Elektrisches Verhalten



Bipolartransistor – Aufbau



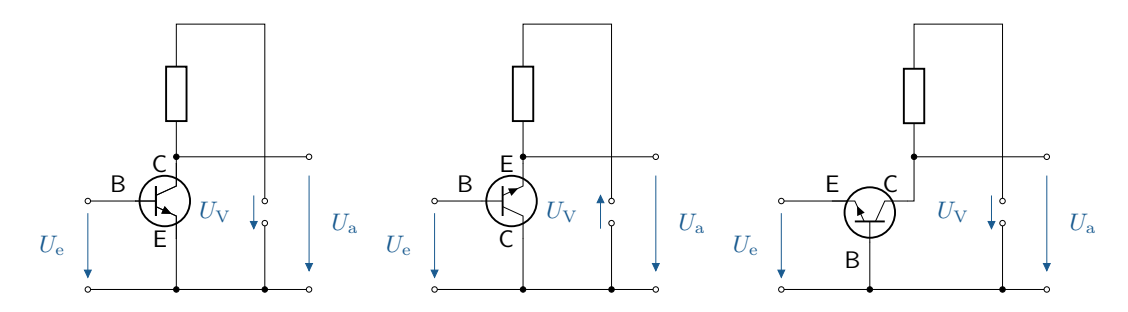


Abbildung: **Grundschaltungen npn-Bipolartransistor.** V.I.n.r Emitter-, Kollektor- und Basisschaltung.

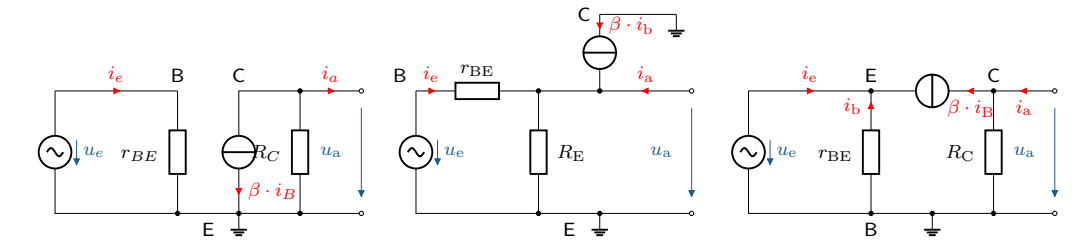


Abbildung: **Ersatzschaltbilder der Grundschaltungen.** V.l.n.r Emitter-, Kollektor- und Basisschaltung von npn-Transistoren.

$r_{ m e}$	mittel z.B. $1 \mathrm{k}\Omega$	klein z.B. 50Ω	groß z.B. $100 \mathrm{k}\Omega$
r_{a}	mittel z.B. $10 \mathrm{k}\Omega$	groß z.B. $100\mathrm{k}\Omega$	lein z.B. 50Ω
$v_{\rm i}$	groß z.B. 100	<1 z.B. 0.9	groß z.B. 100
$v_{ m u}$	groß z.B. 100	groß z.B. 100	<1 z.B. 0.99
v_{p}	sehr groß z.B. $1 \mathrm{k}\Omega$	groß z.B. 100	groß z.B. 100
φ_{u}	gegenphasig 180°	gleichphasig 0°	gleichphasig 0°

Tabelle: Elektrische Eigenschaften von Grundschaltungen

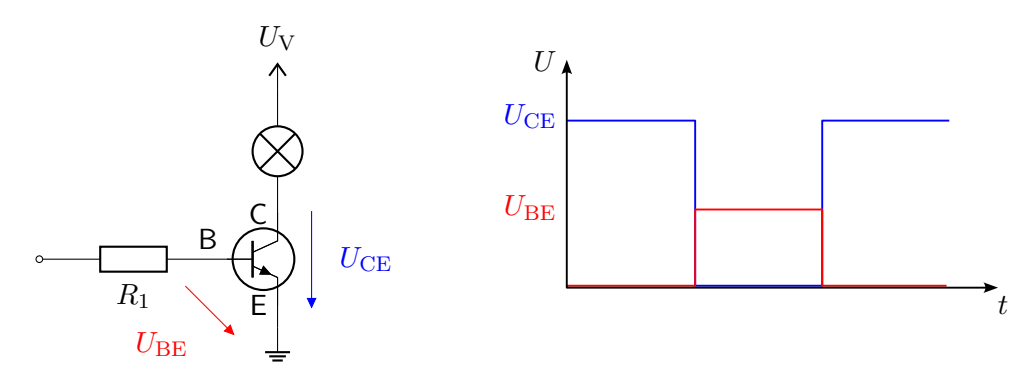
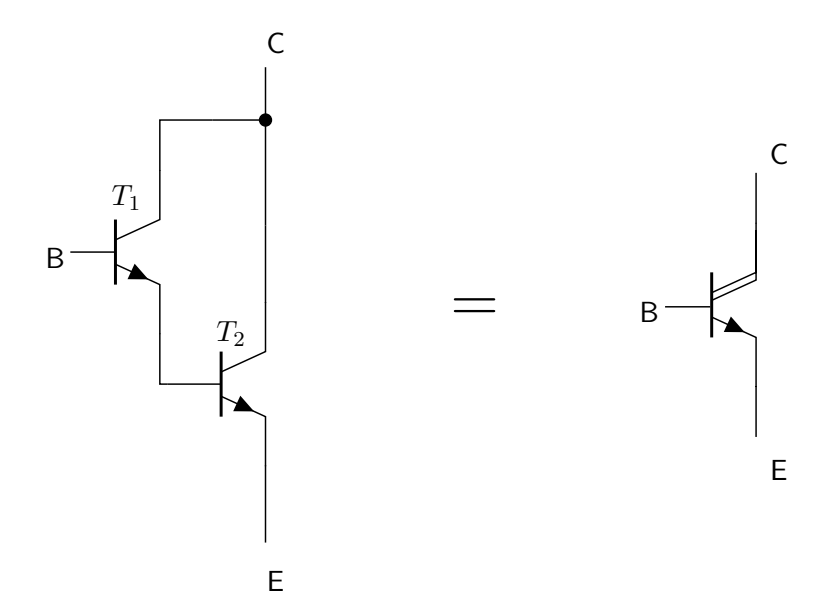


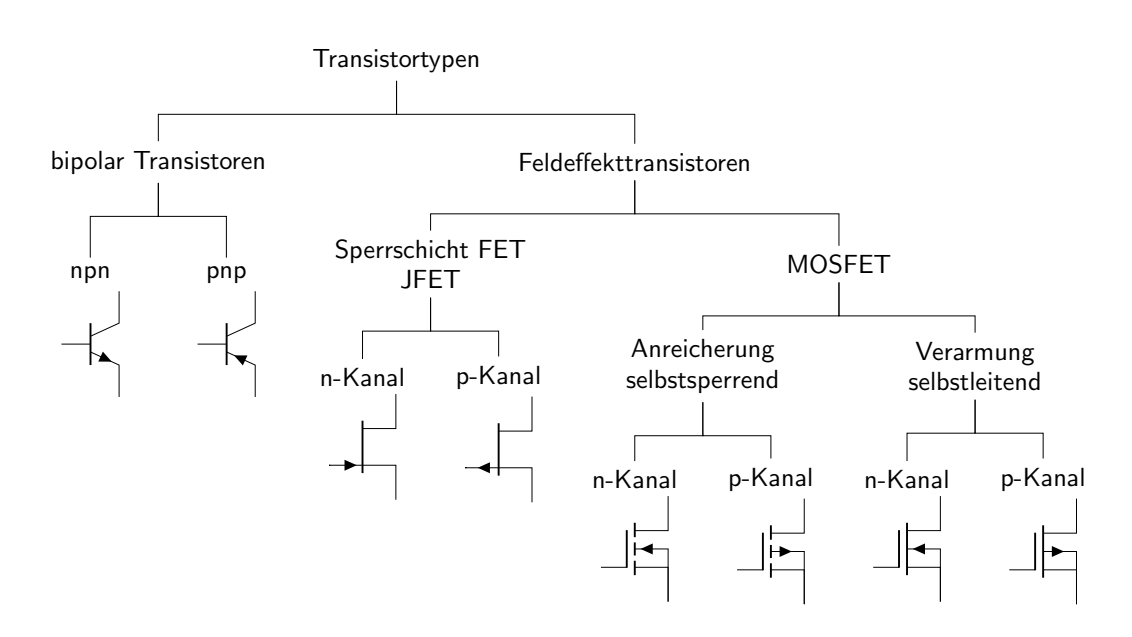
Abbildung: Transistor als Schalter. Links: Schaltbild mit Lampe als Verbraucher in der Kollektor-Emitter-Strecke. Rechts: Spannungsverläufe mit $U_{\rm CE}$ als Folge von $U_{\rm BE}$.

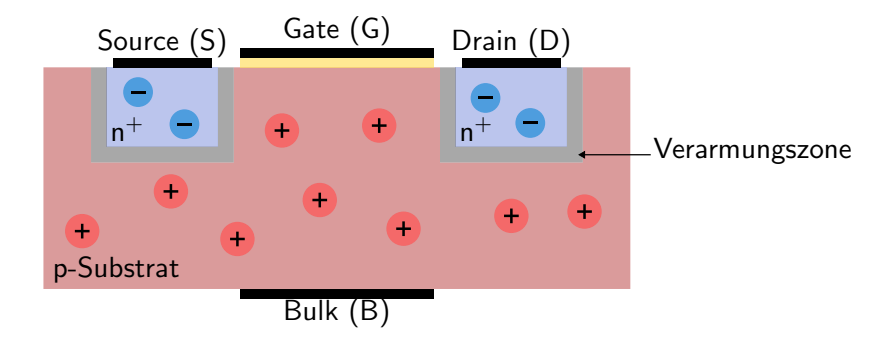
Merke:

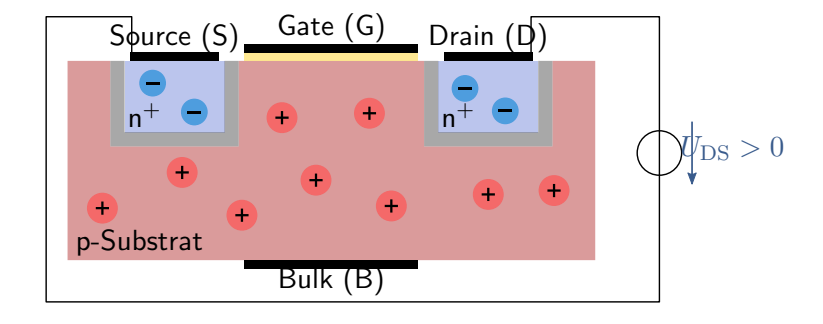
Im Vergleich zu einem elektromechanischen Schalter in Form eines Relais weisen Transistoren einen deutlich kleineren Bauraum und geringeren Preis auf. Durch den kontaktlosen Aufbau tritt zudem kein Kontaktprellen auf, was zu einer höheren Lebensdauer führt.

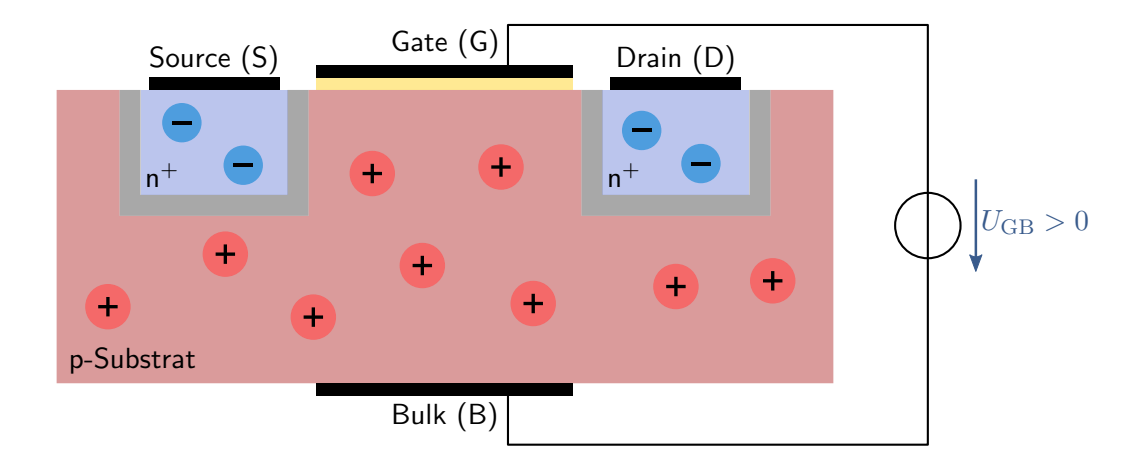


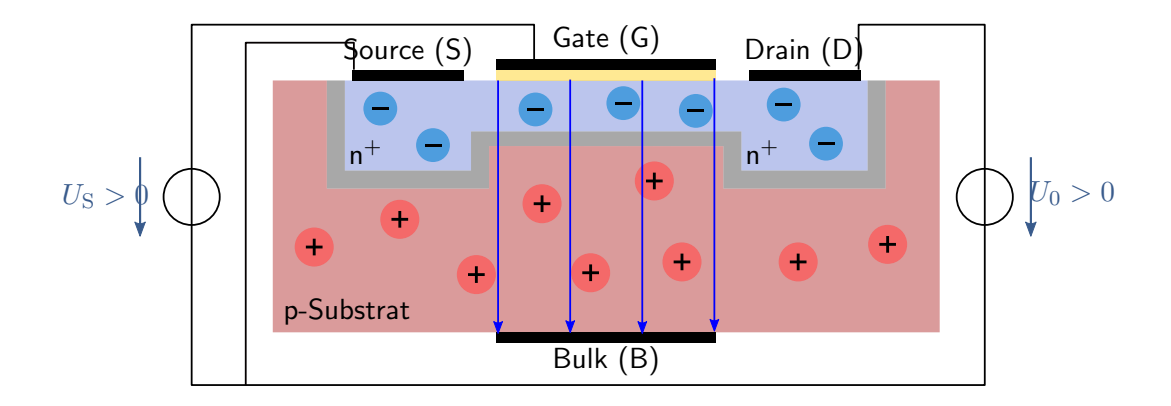
Feldeffekttransistor

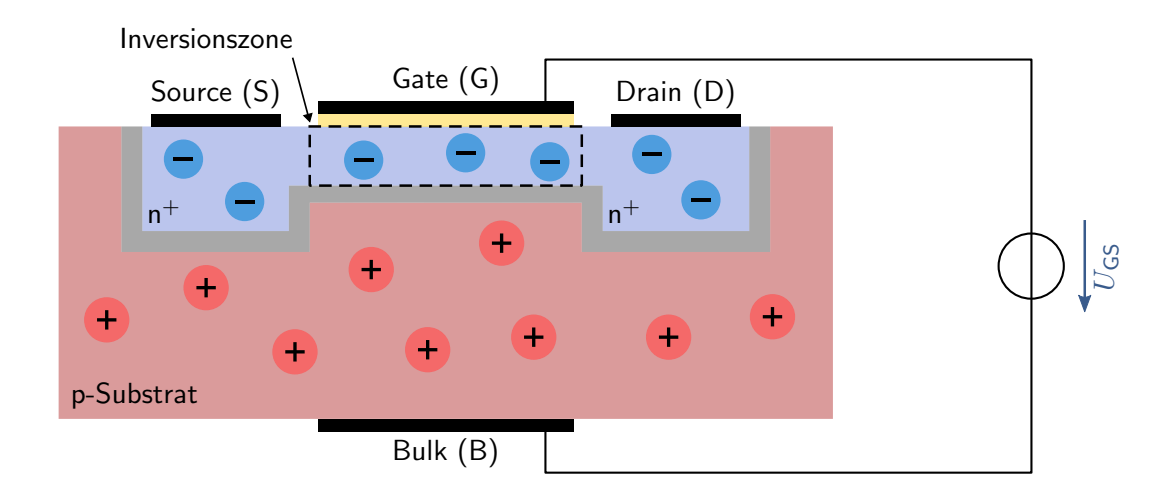


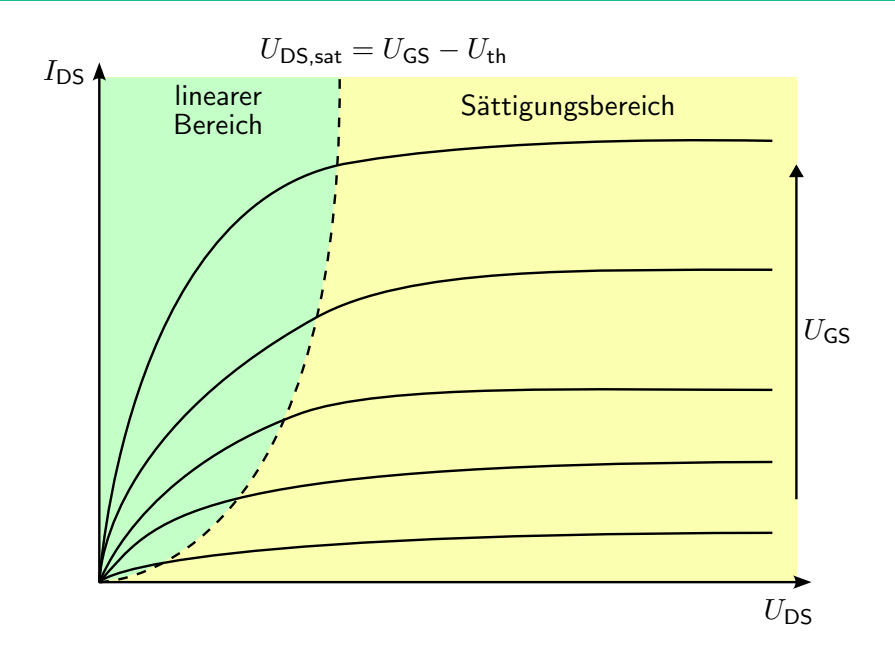


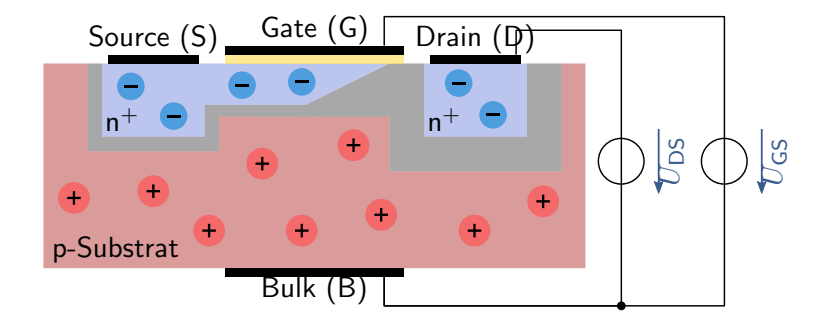






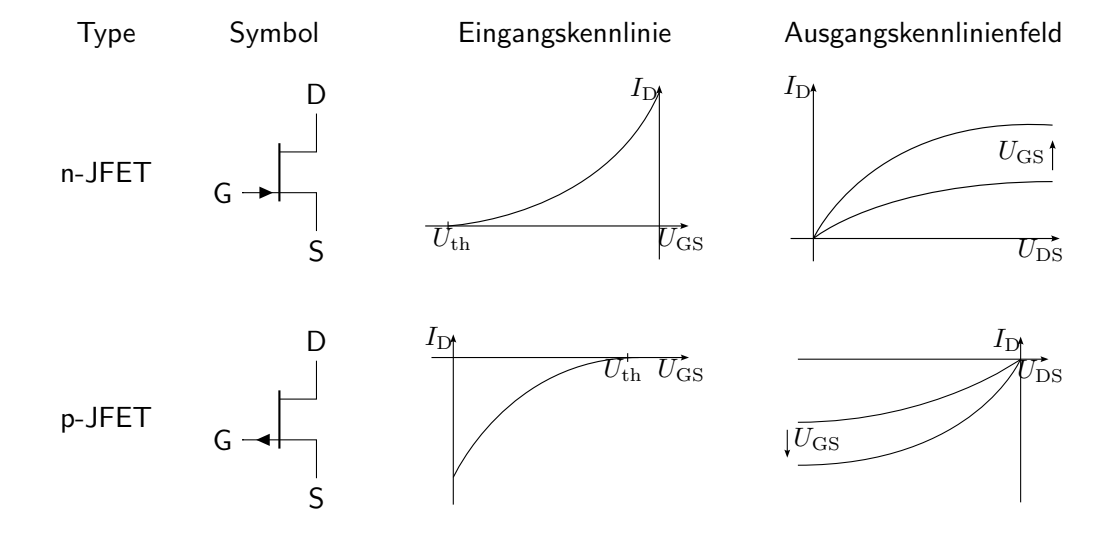


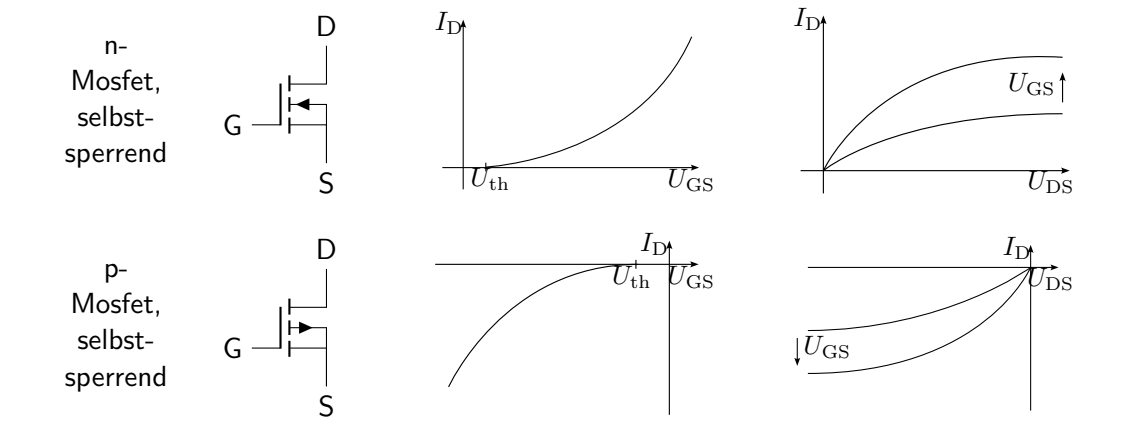


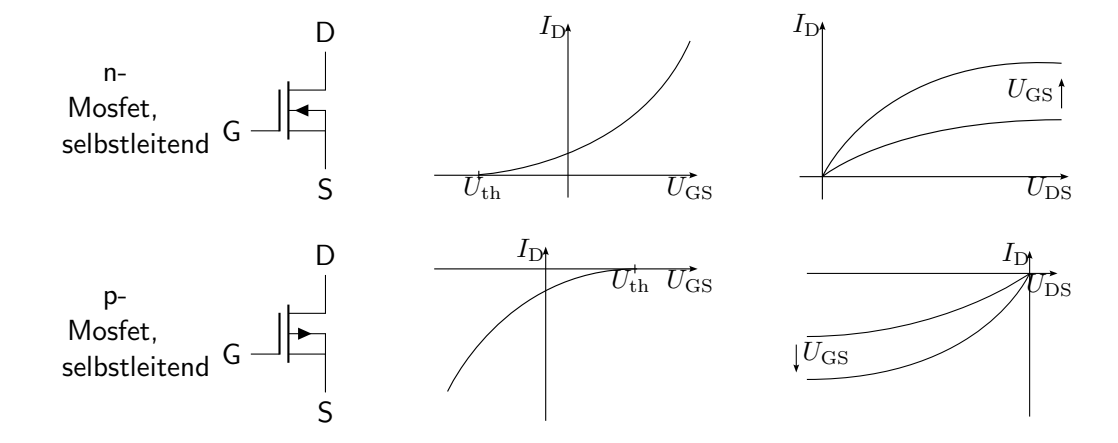


Merke:

- MOSFETs besitzen drei Anschlüsse, Gate(G), Source(S) und Drain (D).
- Das elektrische Verhalten wird leistungslos gesteuert.
- lacktriangle Durch U_{GS} erfolgt eine Inversion der Ladungsträger unterhalb des Gates.



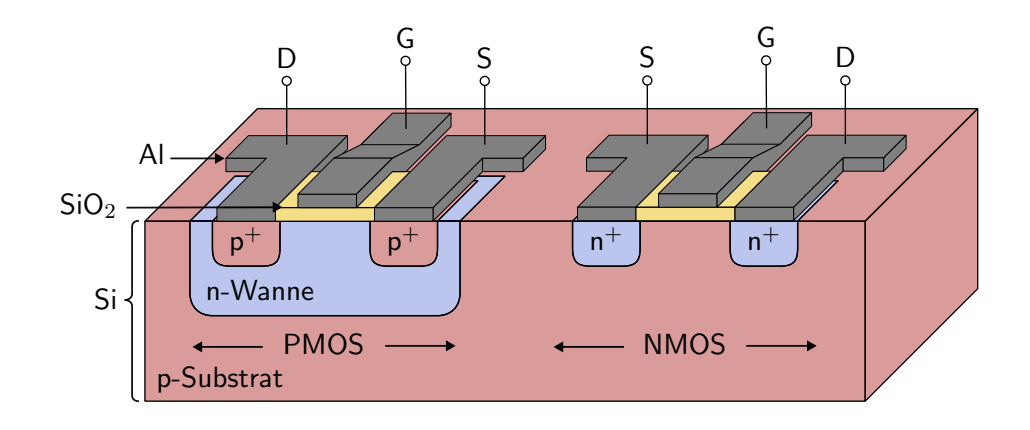




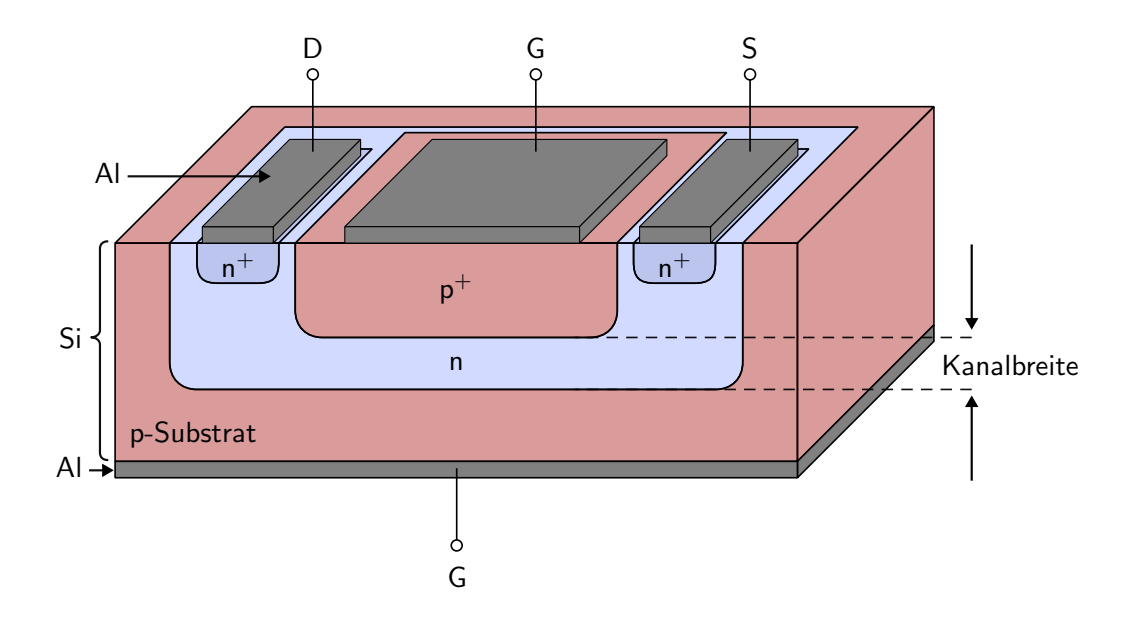
Merke:

- Die Dotierung des Kanals gibt die notwendigen Vorzeichen der Ströme und Spannungen am Transistor vor.
- lacktriangle Die Eingangskennlinien können durch die Lage der Schwellenspannung $U_{
 m th}$ unterschieden werden.

Feldeffekttransistor – Aufbau



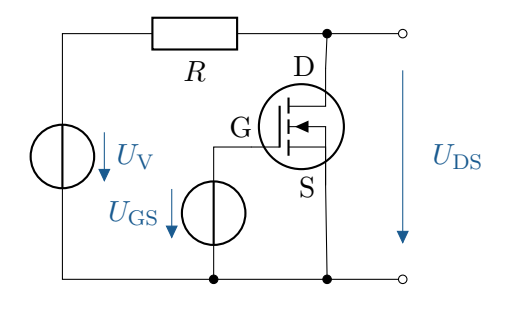
Feldeffekttransistor – Aufbau

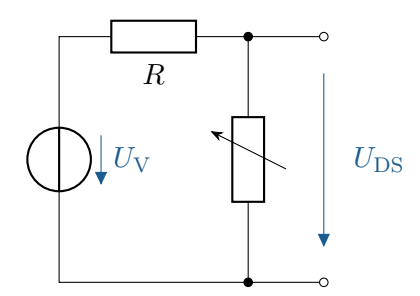


Feldeffekttransistor – Aufbau

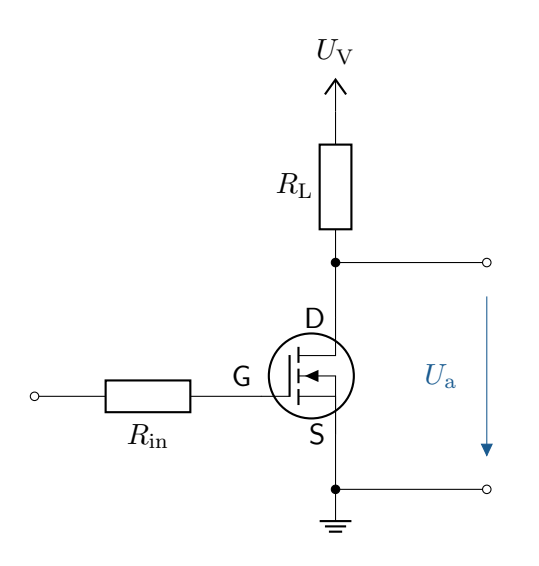
Merke:

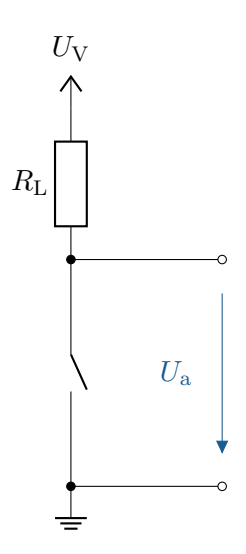
- CMOS-Technik kombiniert komplementäre MOSFETs in einem Bauteil.
- ▶ JFETs weisen den einfachsten Aufbau von FETs auf.





Merke: Der ohmsche Widerstand eines MOSFETs kann durch $U_{\rm GS}$ gesteuert werden, der Durchgangswiderstand ist allerdings gering und der Wertebereich sehr schmal.





Merke: Der große Vorteil von MOSFETs in diesem Szenario ist ihre hohe Schaltgeschwindigkeit, der niedrige Widerstand im leitenden Zustand sowie der hohe Eingangswiderstand am Gate.

